

MINERÁLNE ZLOŽENIE LAMINOVANÝCH BAZALTOVÝCH METAPYROKLASTÍK A MRAMOROV NA LOKALITÁCH V OKOLÍ OCHTINEJ (SLOVENSKÁ REPUBLIKA)

MINERAL COMPOSITION OF LAMINATED BASALT METAPYROCLASTICS AND MARBLES
AT THE LOCALITIES NEAR OCHTINÁ (SLOVAK REPUBLIC)

PETER RUŽIČKA, PAVOL MYŠLAN

Abstract

Ružička, P., Myšlan, P., 2022: Minerálne zloženie laminovaných bazaltových metapyroklastík a mramorov na lokalitách v okolí Ochtinej (Slovenská republika). – Acta Musei Moraviae, Scientiae geologicae, 107, 2, 165–185 (with English summary).

Mineral composition of laminated basalt metapyroclastics and marbles at the localities near Ochtiná (Slovak Republic).

Basalt metapyroclastics at the localities Ochtiná – Pod Vápnom and Ochtiná – Hrádok form laminated intercalations in marbles of the Börka nappe (Meliatic Unit), Western Carpathians. The mineral association consists of amphiboles (actinolite – tremolite), chlorites (clinochlore – chamosite), epidote and albite which occurs in the stripes. Accessory minerals are represented by titanite and fluorapatite, in the marbles hydrothermal pyrite was also identified. The amphiboles reveal dominant Mg (2.50–4.48 apfu) in C position. The content of Mg in clinochlore varies between 2.40–2.69 apfu and the content of Fe²⁺ in chamosite is up to 2.62 apfu. Epidote shows two slightly pronounced substitutions in the M positions and one in the T position. The most significant substitution is in M3 position between Fe³⁺ (0.52–0.95 apfu), Al (0.03–0.45 apfu), negligible Fe²⁺ (up to 0.08 apfu), Cr (up to 0.01 apfu) and V (up to 0.02 apfu). Albite reaches a nearly pure end-member composition (Ab_{99–100}Or_{0.2}An_{0.7}). Titanite shows contents of Ca and Si close to the ideal composition, Ti content is slightly reduced (0.87–0.92 apfu) by (Al, Fe)³⁺ + (OH, F)⁻ ↔ Ti⁴⁺ + O²⁻ substitution and the F content is increased up to 0.6 wt. % and (OH)⁻ up to 0.08 apfu. Fluorapatite represents the end-member with a content of 0.83–1.00 apfu F without an increased concentration of REE elements. In pyrites, the Co content slightly increases from the center to the edge of some grains (up to 0.05 apfu). Marbles formed during the regional metamorphism of sedimentary limestones, which were locally enriched in pyroclastic material of basaltic composition. The recrystallized pyroclastic material was transformed into a laminar arrangement in the marbles. The calculated temperature interval for chlorites is in the range of 303–343 ± 9.5 °C.

Key words: mineral composition, basalt metapyroclastics, marbles, Ochtiná, Western Carpathians, Slovak Republic
Peter Ružička, Department of Mineralogy, Petrology and Economic Geology, Faculty of Natural Sciences, Comenius University, Ilkovičova 6, 842 15 Bratislava, Slovak Republic; e-mail: peter.ruzicka@uniba.sk

Pavol Myšlan, Earth Science Institute, Slovak Academy of Sciences, Dúbravská cesta 9, 840 05 Bratislava, Slovak Republic. Department of Mineralogy, Petrology and Economic Geology, Faculty of Natural Sciences, Comenius University, Ilkovičova 6, 842 15 Bratislava, Slovak Republic

1. ÚVOD

Objektom nášho mineralogického výskumu boli svetlé mramory laminované zelenosivými bazaltovými metapyroklastikami vyskytujúce sa na lokalite Ochtiná – Pod Vápnom

s kontinuálnym prechodom do kalcitovo-chloritových fylitov na lokalite Ochtiná – Hrádok. Cieľom mikroskopického a následne mikrosondového štúdia bola identifikácia minerálnej asociácie skúmaných hornín. Získané analytické údaje o chemickom zložení identifikovaných minerálov boli konfrontované navzájom, ako aj s výsledkami z lokality Markuška, kde sa vyskytujú identické typy mramorov laminované bazaltovými metapyroklastikami (RUŽIČKA *et al.* 2019). Na základe údajov analyzovaných chloritov sme stanovili teplotný rozsah regionálnej metamorfózy, ktorý dopĺňa poznatky o genéze skúmanej oblasti.

2. GEOLOGICKÁ CHARAKTERISTIKA A LOKALIZÁCIA

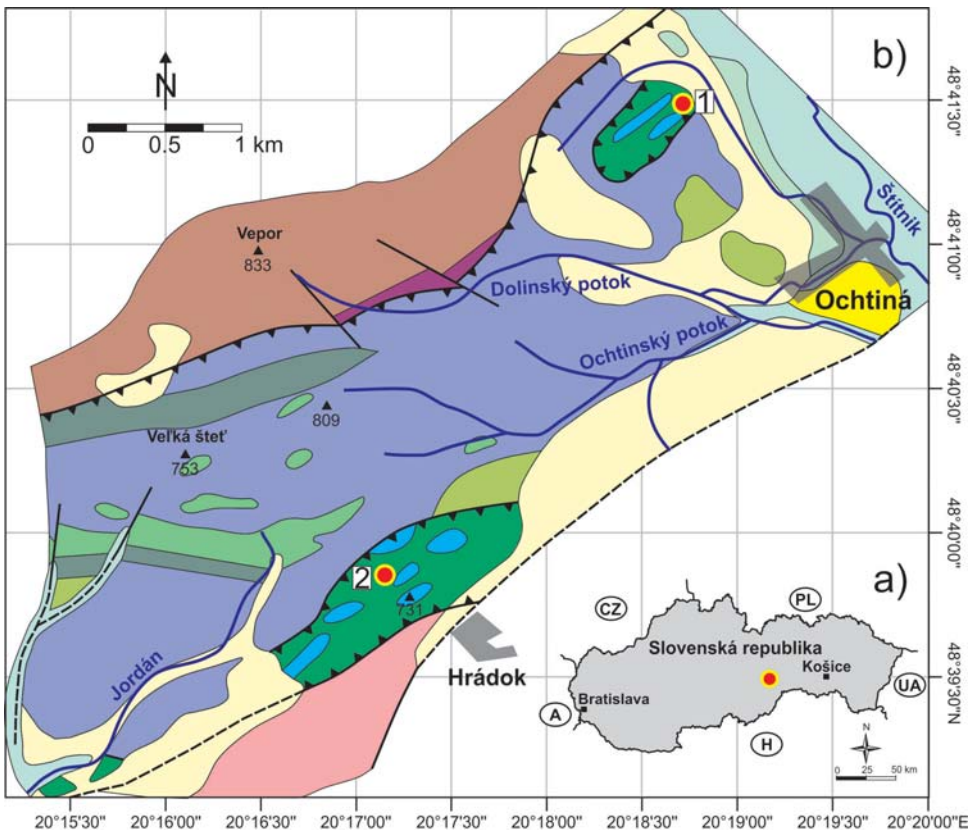
Skúmané lokality v okolí Ochtinej (obr. 1) sú súčasťou tektonickej jednotky meliatika, ktorá sa v súčasnosti rozdeľuje na vysokotlakovo metamorfovaný príkrov Bôrky a nízko metamorfovanú melanž – meliatsku jednotku *s.s.* (PLAŠIENKA *et al.* 2019). Mramory spolu s bazaltovými metapyroklastikami sú litostratigrafickým členom triasovo-jurskej hačavskej sekvencie dúbravského súvrstvia príkrovu Bôrky (MELLO *et al.* 1997; 1998). Reprezentujú externé výskytu príkrovu Bôrky lokalizované v stýčnej zóne vaporika a gemerika (západná časť lubeníckej linie násunovej plochy gemerika na vaporikum).

Skúmané mramory sa korelujú s ich analogickými výskytmi v rámci hončianskeho súvrstvia meliatika a turnaika (MELLO *et al.* 1997). Hončianske kryštallické vápence tvoria samostatné bloky a olistolity (GAÁL 1987). Exaktné stanovenie veku mramorov je problematické z dôvodu, že počas regionálnej metamorfózy boli zbavené akéhokoľvek biostratigraficky datovateľného materiálu. Na základe konfrontácie vzhľadu, zloženia a lithostratigrafickej pozície sa odhaduje ich pravdepodobný vek na stredný trias, pričom veková korelácia vychádza napr. z prác KANTORA (1955, 1956), KAMENICKÉHO (1957), REICHWALDERA (1970, 1973) a MARKA (1981). Za predpokladaný protolit mramorov sa považujú steinalmské vápence (MELLO *et al.* 1997).

Litologický rozdiel medzi skúmanými lokalitami spočíva v tom, že bazaltové metapyroklastiky s kontinuálnym prechodom do kalcitovo-chloritových fylitov prevládajú na lokalite Ochtiná – Hrádok, pričom mramory tvoria menšie polohy až šošovky (Mišík 1953). Na lokalite Ochtiná – Pod Vápnom severne od obce Ochtiná dominujú svetlé mramory, ktoré tvoria masív Ochtinskej Dúbravy. Podobné typy mramorov sa vyskytujú pri Lubeníku a Markuške (RUŽIČKA *et al.* 2019, 2020). Charakteristickým genetickým znakom, ktorý sa vzťahuje na skúmané lokality, je synchrónnosť pôvodnej bázickej vulkanickej aktivity a karbonátovej sedimentácie s následnou regionálnou metamorfózou, na ktorú poukázal REICHWALDER (1970, 1973). Podľa akceptovanej lithostratigrafickej koncepcie (BAJANÍK *et al.* 1984) sú na karbónske metasedimenty ochtinskej skupiny nasunuté triasové komplexy dúbravského súvrstvia príkrovu Bôrky (obr. 1).

Niektoři autori (GAZDAČKO 2005; GRECULA *et al.* 2009) pozorovali súvislý litologický prechod medzi spomínanými jednotkami a priradujú nadložné komplexy ku zlatníckemu súvrstiu dobšinskej skupiny gemerika karbónskeho veku.

Skúmané lokality sa nachádzajú v katastri obce Ochtiná, v okrese Rožňava, v Košickom kraji. Podľa geomorfologického členenia Slovenskej republiky (KOČICKÝ a IVANIČ 2011) skúmané územie patri do oblasti Slovenského rudoohoria, celku Revúcka vrchovina, oddielu Hrádok a časti Štítnické podolie. Geografická poloha lokality Ochtiná – Hrádok je $48^{\circ}39'52.2"N$ a $20^{\circ}17'10.7"E$ v nadmorskej výške 646 m (obr. 2a). Súradnice lokality Ochtiná – Pod Vápnom sú $48^{\circ}41'31.6"N$ a $20^{\circ}18'44.1"E$, nadmorská výška je 478 m (obr. 2b).



Legenda

Južné gemicikum

- Kryštallínikum (staršie paleozoikum ?)
metakvarcity
- Revúcka skupina - rimavské súvrstvie (perm)
metaarkózy lókáne s vložkami bridič

Severné gemicikum - ochtiná skupina

- Hrádocké súvrstvie (karbón)
chlortické fyllity
- Hrádocké súvrstvie (karbón)
metamorfované zlepencovo-pieskovcové turbidity
- Hrádocké súvrstvie (karbón)
metabazalty a metadolerty
- Lubenické súvrstvie (karbón)
magnezity a lokálne siderity

Južné gemicikum - gočaltovská skupina

- Rozňávské súvrstvie (perm)
metapieskovce

Meliatikum a prikrov Bôrky

- Hončianske súvrstvie (triás)
svetlé mramory
- Dúbravské súvrstvie (triás)
metabázické horniny (bazaltové metapyroklastiká)

Neogén a kvarter

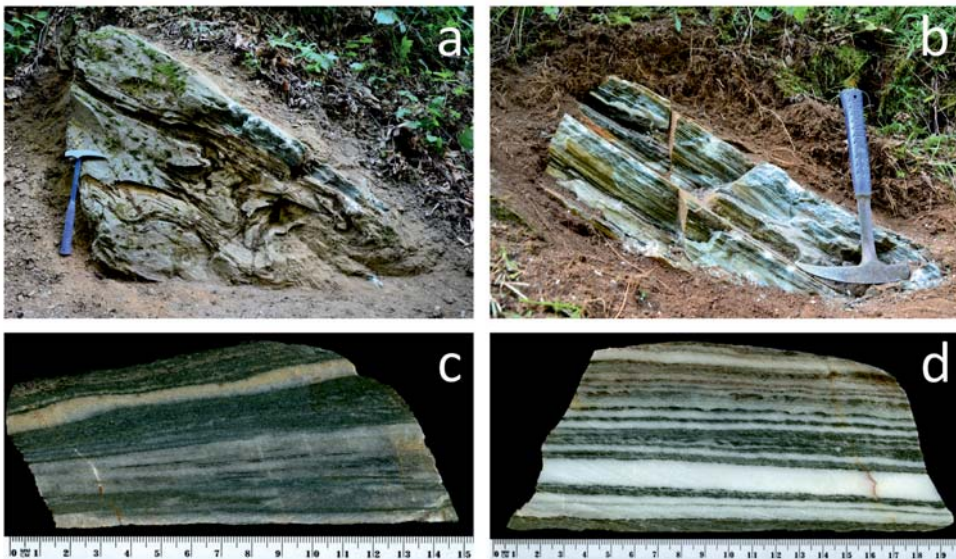
- Pottárske súvrstvie (miocén)
štrky, piesky ily, lignity
- Deluviajálne sedimenty (pleistocén - holocén)
hlinito-kamenitý svahoviny a sutiny
- Fluviajné sedimenty (holocén)
a) piesčité až štrkové hliny; b) nivné hliny

Všeobecné vysvetlivky

- a) zlomy; b) prikrov
- Zastavané územie
- Vodné toky
- Miesto odberu vzoriek

Obr. 1. Lokalizácia skúmaného územia: a) pozícia v mape Slovenskej republiky; b) detail geologickej mapy modifikovanej podľa BAJANÍKA *et al.* (1984) s vyznačenými miestami odberu vzoriek: 1) Ochtiná – Pod Vápnom; 2) Ochtiná – Hrádok.

Fig. 1. Localization of the investigated area: a) position on the map of the Slovak Republic; b) detail of the geological map modified according to BAJANÍK *et al.* (1984) with sampling locations marked: 1) Ochtiná – Pod Vápnom; 2) Ochtiná – Hrádok.



Obr. 2. Miesta odberov vzoriek: a) zvrásnené polohy mramorov v kalcitovo-chloritových fylitoch na lokalite Ochtiná – Hrádok; b) mramory laminované bazaltovými metapyroklastikami na lokalite Ochtiná – Pod Vápnom. Prierezy skúmaných vzoriek z lokalít: c) Ochtiná – Hrádok; d) Ochtiná – Pod Vápnom. Foto P. Ružička 2021, 2022.

Fig. 2. Sampling sites: a) folded positions of marbles in calcite-chlorite phyllites at the Ochtiná - Hrádok locality; b) marbles laminated with basalt metapyroclastistics at the Ochtiná - Pod Vápnom locality. Cross-sections of investigated samples from the following locations: c) Ochtiná - Hrádok; d) Ochtiná - Pod Vápnom. Photo by P. Ružička 2021, 2022.

3. METODIKA

Terénnny výskum bol zameraný na odber reprezentačných vzoriek v rámci skúmaných lokalít s cieľom ich mikroskopického a následne mikrosondového štúdia zameraného na identifikáciu ich minerálneho zloženia. Účelom mikroskopického pozorovania výbrusov v prechádzajúcim svetle polarizačného mikroskopu Leica DM2500P na Katedre mineralogie, petrológie a ložiskovej geológie Prírodovedeckej fakulty Univerzity Komenského v Bratislave bolo zistenie štruktúrnych vzťahov a vyznačenie fáz pre identifikáciu pomocou elektrónového mikroanalyzátora.

Leštené výbrusy, vákuovo naparené tenkou uhlíkovou vrstvou, boli analyzované na elektrónovom mikroanalyzátore JEOL JXA 8530FE na Ústavе vied o Zemi Slovenskej akadémie vied v Banskej Bystrici (analytik S. Kurylo). Vzorky boli analyzované pri urýchľovačom napäti 15 kV (silikáty a karbonáty) a 20 kV (sulfidy) a prúde 20 nA (silikáty) a prúde 15 nA (karbonáty). Priemer elektrónového lúča sa pohyboval v rozsahu 2–10 μm . Použila sa ZAF korekcia. Koexistenčné vzťahy analyzovaných fáz boli pozorované v spätne rozptýlených elektrónoch (BSE – back-scattered electrons).

Na meranie silikátov boli použité nasledovné štandardy a spektrálne čiary: albit ($\text{SiK}\alpha$, $\text{AlK}\alpha$, $\text{NaK}\alpha$), rutil ($\text{TiK}\alpha$), ortoklas ($\text{KK}\alpha$), diopsid ($\text{MgK}\alpha$, $\text{CaK}\alpha$), hematit ($\text{FeK}\alpha$), rodonit ($\text{MnK}\alpha$), barit ($\text{BaL}\alpha$), celestin ($\text{SrK}\alpha$), fluorit ($\text{FK}\alpha$). Pre meranie amfibolov boli použité štandardy: plagioklas ($\text{SiK}\alpha$), albit ($\text{AlK}\alpha$, $\text{NaK}\alpha$), rutil ($\text{TiK}\alpha$), ortoklas ($\text{KK}\alpha$), diopsid ($\text{MgK}\alpha$, $\text{CaK}\alpha$), almandín ($\text{FeK}\alpha$), rodonit ($\text{MnK}\alpha$), ScVO_4 ($\text{VL}\alpha$), barit ($\text{BaL}\alpha$), fluorit ($\text{FK}\alpha$). Na meranie fluórapatitu boli použité prírodné a syntetické štandardy

a spektrálne čiary: apatit ($\text{PK}\alpha$, $\text{CaK}\alpha$), albit ($\text{AlK}\alpha$, $\text{NaK}\alpha$), diopsid ($\text{SiK}\alpha$, $\text{MgK}\alpha$, $\text{CaK}\alpha$), rutil ($\text{TiK}\alpha$), hematit ($\text{FeK}\alpha$), rodonit ($\text{MnK}\alpha$), celestín ($\text{SrL}\alpha$), barit ($\text{BaL}\alpha$), CePO_4 ($\text{CeL}\alpha$), LaPO_4 ($\text{LaL}\alpha$), PrPO_4 ($\text{PrL}\beta$), fluorit ($\text{FK}\alpha$), tugtupit ($\text{ClK}\alpha$). Na meranie pyritu boli použité štandardy: pyrit ($\text{FeK}\alpha$, $\text{SK}\alpha$), Bi_2Se_3 ($\text{SeL}\beta$), arzenopyrit ($\text{AsL}\beta$), kobaltit ($\text{CoK}\alpha$), gersdorffit ($\text{NiK}\alpha$). Na meranie kalcitov boli použité prírodné a syntetické štandardy a spektrálne čiary: hematit ($\text{FeK}\alpha$), rodonit ($\text{MnK}\alpha$), diopsid ($\text{MgK}\alpha$, $\text{CaK}\alpha$). V tabuľkách nie sú zahrnuté prvky, ktorých obsahy v mineráloch boli pod detekčným limitom.

Elektrónové mikroanalýzy amfibolov boli prepočítané v zmysle platnej klasifikácie HAWTHORNE *et al.* (2012). Klasifikačný diagram amfibolov podľa LEAKE *et al.* (1997) bol použitý na grafické vyjadrenia rozdielov v klasifikačných parametroch, ktoré sú postavené na porovnávaní obsahov Si vs. Mg ($\text{Mg} + \text{Fe}^{2+}$) v *apfu*, na rozdiel od klasifikačného diagramu HAWTHORNE *et al.* (2012), ktorý vychádza z porovnávania $\text{C}(\text{Al} + \text{Fe}^{3+} + 2\text{Ti})$ vs. $A(\text{Na} + \text{K} + 2\text{Ca})$ v *apfu*. Obsahy FeO a Fe_2O_3 boli rozpočítané z nábojovej bilancie podľa postupu uvedeného v práci LEAKE *et al.* (1997). Elektrónové mikroanalýzy boli prepočítané podľa platných klasifikácií pre minerály epidotovej superskupiny (ARMBRUSTER *et al.* 2006) a apatitovej superskupiny (PASERO *et al.* 2010). Obsah (OH^-) v titanite bol stanovený ako $(\text{OH})^- = (\text{Al} + \text{Fe}^{3+})\text{-F}$ podľa postupu uvedenom v práci ENAMI *et al.* (1993). Elektrónové mikroanalýzy chloritov boli graficky klasifikované podľa práce ZANE a WEISS (1998). Teplotné podmienky metamorfózy boli vypočítané z bodových chemických analýz chloritov aplikovaním dvoch konvenčných termometrov T1 (CATHELÉNAU 1988) a T2 (JOWETT 1991). Používané skratky minerálov sú uvádzané podľa práce WARR (2021).

4. VÝSLEDKY

Petrografický opis

Sivozelené až tmavozelené **bazaltové metapyroklastiká** sú celistvé jemno- až stredno-zrnné horniny s nepravidelnou vyvinutou bridličnatostou, vytvárajúce do 3 cm hrubé lamy (interkalácie) v mramoroch. Niektoré typy majú plošne paralelnú až páskovanú textúru (obr. 2c, d). V usmernených pruhoch sa striedajú polohy rôzneho minerálneho zloženia, ktoré obsahujú asociáciu chlorit + epidot + albit + akcesorické minerály s amfibolmi, alebo bez amfibolov (obr. 3a, c; obr. 4a; obr. 7a, c). Akcesoricky sú zastúpené rudné minerály (pyrit a goethit) spolu s apatitom a titanitom (obr. 4c, d). Pruhy, resp. pásky bazaltových metapyroklastík zvýrazňujú laminovanú textúru v mramoroch. V dôsledku asociácie s mramormi, metapyroklastiká obsahujú podiel karbonátovej zložky. Mikroskopicky sú často usmernené s granolepidoblastickou až lepidogranoblastickou štruktúrou. Amfiboly tvoria drobné, ihličkovité formy a stĺpčekové kryštály. Epidot je prevažne vo forme stredno- až drobnozrnných agregátov s vysokým reliéfom a pestrými interferenčnými farbami. Albit tvorí porfyroblasty a lokálne býva polysynteticky lamelovaný. Chlority majú výrazný zelený pleochroizmus a anomálne hnedé interferenčné farby. Tvoria šupinky a agregáty zrn rozptýlené v drobnozrnných laminách spolu s epidotom, albitom, titanitom a amfibolmi. Kalcit tvorí sekundárne žilky v bazaltových metapyroklastikách.

Kalcitovo-chloritový fyllit sa vyskytuje na lokalite Ochtiná – Hrádok. Makroskopicky sivozelená hornina je intenzívne bridličnatá a páskovaná. Obsahuje impregnácie pyritu s ojedinelými 0,5 mm veľkými oktaedrickými kryštálm. Mikroskopicky má hornina granolepidoblastickú štruktúru. V minerálnom zložení dominuje kalcit. Chlority tvoria šupiny a agregáty usmernené do pruhov. Akcesoricky obsahuje epidot, titanit, pyrit a goethit.

Svetlé, prevažne biele **mramory** sú masívne až vrstevnaté, lokálne tvoria hrubé lavice v intervale 15 až 30 cm s charakteristickým striedavým sivomodrým páskovaním. Pravidelne sa opakujúce paralelné farebné pruhy sa vyznačujú rôznou hrúbkou. Farebnú nehomogenitu mramorov lokálne spôsobujú vložky žltohnedých dolomitov. Svetlé mramory postupne prechádzajú do podložných sivozelených bazaltových metapyroklastík, čo sa prejavuje ich vzá-

jomným striedaním vo forme laminácie (obr. 2c, d). Prímes metapyroklastického materiálu zvýraznila vrstevnatú bridličnosť mramorov, ktoré zostávajú masívnejšie len v nadložných bielych typoch. Štruktúra mramorov je granoblasticá až lepidogranoblasticá.

Minerálnu asociáciu mramorov tvorí dominantne kalcit a v menšej miere amfiboly a chlority derivované z metapyroklastík.

Chemické zloženie minerálov

Amfiboly

Tvoria väčšinou ihličkovité až steblovité zrná viac zastúpené spolu s chloritmi v bazalto-vých metapyroklastikách, ktoré v podobe menej zastúpených izolovaných kryštálov prechádzajú aj do mramorov. Z hľadiska chemického zloženia patria medzi Ca amfiboly, konkrétnie ide o Mg-obohatený aktinolit až tremolit (obr. 3a, b; obr. 4a, b; obr. 5; tab. 1, 2). Tremolity boli identifikované len z lokality Ochtiná – Pod Vápnom na rozhraní lamiel bazaltových metapyroklastík a mramorov (obr. 3; tab. 1). Obsah Mg mierne stúpa z lamín bazaltových metapy-

Tabuľka 1. Reprezentatívne elektrónové mikroanalýzy tremolitu (hm. %) z lokality Ochtiná – Pod Vápnom prepočítané na 13 katiónov (*apfu*). Symbol * vyjadruje dopyčitanie H₂O na základe ideálnej stoichiometrie amfibolov, 2 *apfu* (OH + F)⁻. Mg# predstavuje pomer Mg/(Mg+Fe²⁺).

Table 1. Representative electron microanalyses of tremolite (wt. %) from the locality Ochtiná – Pod Vápnom calculated on the basis of 13 cations (*apfu*). The * symbol indicates content of H₂O calculated on ideal amphibole stoichiometry, 2 *apfu* of (OH + F)⁻. Mg# represents Mg/(Mg+Fe²⁺).

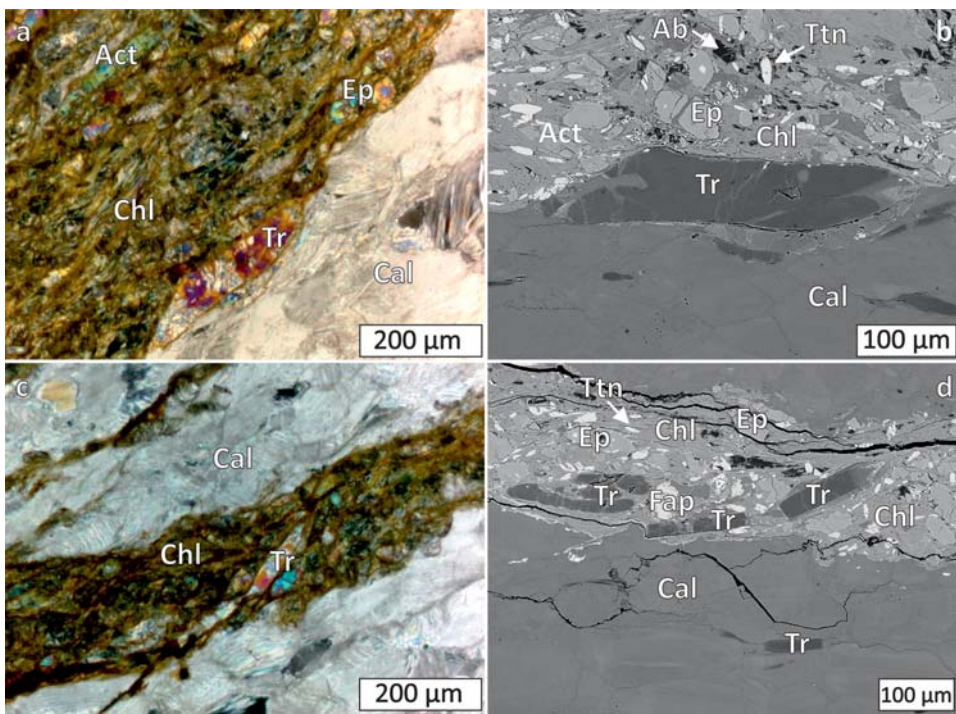
Analýza	Ochtiná – Pod Vápnom									
	bazaltové metapyroklastikum					mramor				
	1	2	3	4	5	1	2	3	4	5
SiO ₂	59,24	59,13	59,35	58,64	58,77	59,54	59,02	59,13	59,40	59,10
TiO ₂	0,06	0,04	0,14	0,04	0,04	0,00	0,00	0,00	0,00	0,00
Al ₂ O ₃	0,40	0,67	0,56	0,63	0,45	0,51	0,76	0,16	0,24	0,39
V ₂ O ₃	0,00	0,04	0,00	0,00	0,00	0,00	0,03	0,00	0,00	0,00
MnO	0,00	0,00	0,00	0,05	0,00	0,00	0,07	0,00	0,00	0,00
FeO	3,42	3,89	2,68	3,43	3,34	2,03	2,40	3,21	2,86	3,37
MgO	21,47	21,28	21,79	20,85	21,36	22,06	21,90	21,17	21,75	21,14
CaO	13,16	12,97	13,27	12,97	13,10	13,44	13,51	13,56	13,23	13,38
Na ₂ O	0,04	0,04	0,08	0,12	0,07	0,04	0,00	0,00	0,05	0,00
K ₂ O	0,00	0,00	0,00	0,04	0,03	0,00	0,00	0,00	0,00	0,00
H ₂ O*	2,19	2,20	2,20	2,17	2,18	2,20	2,20	2,18	2,19	2,18
F	0,00	0,00	0,00	0,05	0,00	0,00	0,00	0,00	0,00	0,18
-O=F	0,00	0,00	0,00	-0,02	0,00	0,00	0,00	0,00	0,00	-0,08
Suma	99,98	100,26	100,07	98,97	99,34	99,82	99,89	99,41	99,72	99,66
Si ⁴⁺	8,097	8,073	8,081	8,101	8,087	8,103	8,051	8,128	8,119	8,112
Suma <i>T</i>	8,097	8,073	8,081	8,101	8,087	8,103	8,051	8,128	8,119	8,112
Ti ⁴⁺	0,006	0,004	0,014	0,004	0,004	0,000	0,000	0,000	0,000	0,000
Al ³⁺	0,064	0,108	0,090	0,103	0,073	0,082	0,122	0,026	0,039	0,063
V ³⁺	0,000	0,004	0,000	0,000	0,000	0,000	0,003	0,000	0,000	0,000
Mn ²⁺	0,000	0,000	0,000	0,006	0,000	0,000	0,008	0,000	0,000	0,000
Fe ²⁺	0,391	0,444	0,305	0,396	0,384	0,231	0,274	0,369	0,327	0,387
Mg ²⁺	4,374	4,331	4,423	4,294	4,381	4,476	4,453	4,338	4,432	4,326
Suma <i>C</i>	4,835	4,891	4,832	4,803	4,842	4,789	4,860	4,733	4,798	4,776
Ca ²⁺	1,927	1,897	1,936	1,920	1,931	1,960	1,975	1,997	1,938	1,968
Na ⁺	0,011	0,011	0,021	0,032	0,019	0,011	0,000	0,000	0,013	0,000
Suma <i>B</i>	1,938	1,908	1,957	1,952	1,950	1,971	1,975	1,997	1,951	1,968
K ⁺	0,000	0,000	0,000	0,007	0,005	0,000	0,000	0,000	0,000	0,000
Suma <i>A</i>	0,000	0,000	0,000	0,007	0,005	0,000	0,000	0,000	0,000	0,000
OH	2,000	2,000	2,000	1,997	2,000	2,000	2,000	2,000	2,000	1,922
F	0,000	0,000	0,000	0,003	0,000	0,000	0,000	0,000	0,000	0,078
Suma <i>W</i>	2,000	2,000	2,000	2,000	2,000	2,000	2,000	2,000	2,000	2,000
Mg#	0,918	0,907	0,935	0,916	0,919	0,951	0,942	0,922	0,931	0,918

roklastik (4,29–4,42 *apfu*) do mramorovej časti (4,33–4,48 *apfu*). Obsah Fe^{2+} dosahuje vyššie hodnoty v laminách bazaltových metapyroklastik (0,31–0,44 *apfu*) a klesá v mramorovej časti (0,23–0,39 *apfu*). Podobný trend je aj v obsahu Ca, ktorý je vyšší v tremolitech pochádzajúcich z mramorovej časti (1,94–2,00 *apfu*) a klesá v tremolitech v laminách bazaltových metapyroklastik (1,90–1,94 *apfu*). V tremolitech Mg# vyjadrené ako $\text{Mg}/(\text{Mg}+\text{Fe}^{2+})$ dosahuje maximálnu hodnotu 0,95 a v aktinolitech 0,88. Aktinolity boli identifikované z obidvoch skúmaných lokalít, pričom vo vzorkách z lokality Ochtiná – Pod Vápnom sa vyskytujú vo forme inklúzií v albitech, ako aj v laminách bazaltových metapyroklastik a v mramorovej časti. Podobne ako pri tremolitech sú aj v chemickom zložení aktinolitov určité rozdiely v obsahoch Ca, Mg a Fe^{2+} (tab. 2). Aktinolity v pozícii A majú veľmi nízky obsah Na (do 0,06 *apfu*) na základe čoho nebol potvrdený trend glaukofánovej substitúcie v amfiboloch. V aktinolitech boli identifikované aj mierne zvýšené obsahy F do 0,49 hm. % resp. do 0,22 *apfu* (tab. 2).

Tabuľka 2. Reprezentatívne elektrónové mikroanalýzy aktinolitu (hm. %) zo skúmaných lokalít prepočítané na 13 kátionov (*apfu*). Symbol * vyjadruje dopočítanie H_2O na základe ideálnej stechiometrie amfibolov, 2 *apfu* ($\text{OH} + \text{F}^-$). Mg# predstavuje pomer $\text{Mg}/(\text{Mg}+\text{Fe}^{2+})$.

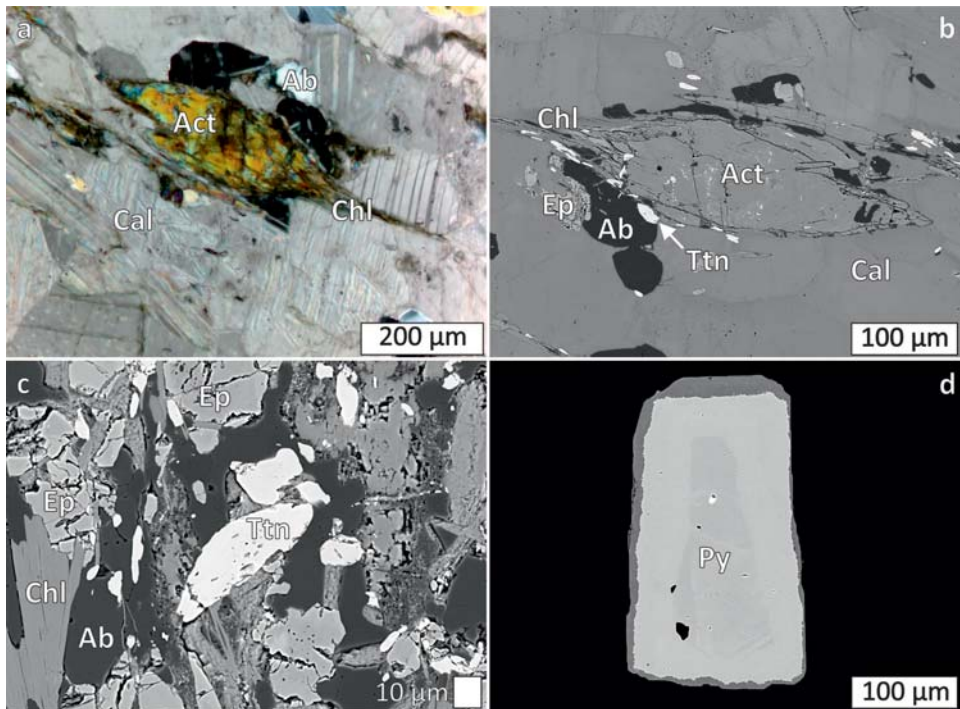
Table 2. Representative electron microanalyses of actinolite (wt. %) from the studied localities calculated on 13 cations (*apfu*). The * symbol indicates content of H_2O calculated on ideal amphibole stoichiometry, 2 *apfu* of ($\text{OH} + \text{F}^-$). Mg# represents $\text{Mg}/(\text{Mg}+\text{Fe}^{2+})$.

Lokalita	Ochtiná – Pod Vápnom				Ochtiná – Hrádok					
	Pozícia inklúzie v albite		metapyroklastikum		mramor		mramor			
	1	2	1	2	1	2	1	2	3	4
SiO_2	54,42	55,76	55,81	57,61	56,77	56,53	56,95	56,71	57,02	55,76
TiO_2	0,03	0,00	0,08	0,11	0,00	0,05	0,04	0,03	0,00	0,00
Al_2O_3	1,45	1,94	1,36	1,80	1,22	1,01	0,84	1,03	1,10	2,12
V_2O_3	0,09	0,06	0,07	0,12	0,00	0,07	0,00	0,00	0,08	0,03
MnO	0,42	0,05	0,06	0,00	0,00	0,00	0,08	0,05	0,12	0,07
FeO	17,49	12,21	13,45	5,26	9,65	10,92	10,58	10,02	10,70	11,48
MgO	11,42	15,59	14,74	20,33	17,18	16,62	16,87	16,61	17,06	15,70
CaO	12,09	12,22	12,17	12,57	12,78	12,83	12,17	12,39	12,26	12,33
Na_2O	0,10	0,23	0,13	0,22	0,11	0,10	0,14	0,13	0,20	0,15
K_2O	0,09	0,08	0,08	0,06	0,04	0,03	0,10	0,08	0,11	0,06
H_2O^*	2,04	2,11	2,10	2,18	1,96	2,12	1,99	1,88	1,98	2,00
F	0,00	0,00	0,00	0,00	0,35	0,00	0,28	0,49	0,33	0,22
-O=F	0,00	0,00	0,00	0,00	-0,15	0,00	-0,12	-0,21	-0,14	-0,09
Suma	99,64	100,25	100,05	100,26	99,91	100,28	99,92	99,21	100,82	99,83
Si^{4+}	7,989	7,922	7,987	7,928	8,000	7,988	8,048	8,055	7,998	7,928
Al^{3+}	0,011	0,078	0,013	0,072	0,000	0,012	0,000	0,000	0,002	0,072
Suma T	8,000	8,000	8,000	8,000	8,000	8,000	8,048	8,055	8,000	8,000
Ti^{4+}	0,003	0,000	0,009	0,011	0,000	0,005	0,004	0,003	0,000	0,000
Al^{3+}	0,240	0,247	0,216	0,220	0,203	0,156	0,140	0,172	0,180	0,283
V^{3+}	0,011	0,007	0,008	0,013	0,000	0,008	0,000	0,000	0,009	0,003
Mn^{2+}	0,052	0,000	0,007	0,000	0,000	0,000	0,010	0,006	0,000	0,008
Fe^{2+}	2,147	1,444	1,610	0,585	1,137	1,290	1,250	1,190	1,243	1,365
Mg^{2+}	2,499	3,302	3,145	4,171	3,609	3,501	3,554	3,517	3,568	3,328
Suma C	4,952	5,000	4,995	5,000	4,949	4,960	4,958	4,888	5,000	4,987
Mn^{2+}	0,000	0,006	0,000	0,000	0,000	0,000	0,000	0,000	0,014	0,000
Fe^{2+}	0,000	0,007	0,000	0,020	0,000	0,000	0,000	0,000	0,012	0,000
Ca^{2+}	1,902	1,860	1,866	1,853	1,930	1,942	1,843	1,886	1,843	1,878
Na^+	0,028	0,063	0,036	0,059	0,030	0,027	0,038	0,036	0,054	0,041
Suma B	1,930	1,936	1,902	1,932	1,960	1,969	1,881	1,922	1,923	1,919
K ⁺	0,017	0,015	0,015	0,011	0,007	0,005	0,018	0,014	0,020	0,011
Suma A	0,017	0,015	0,015	0,011	0,007	0,005	0,018	0,014	0,020	0,011
OH	2,000	2,000	2,000	2,000	1,844	2,000	1,875	1,780	1,854	1,901
F	0,000	0,000	0,000	0,000	0,156	0,000	0,125	0,220	0,146	0,099
Suma W	2,000	2,000	2,000	2,000	2,000	2,000	2,000	2,000	2,000	2,000
Mg#	0,538	0,696	0,661	0,877	0,76	0,731	0,74	0,747	0,742	0,709



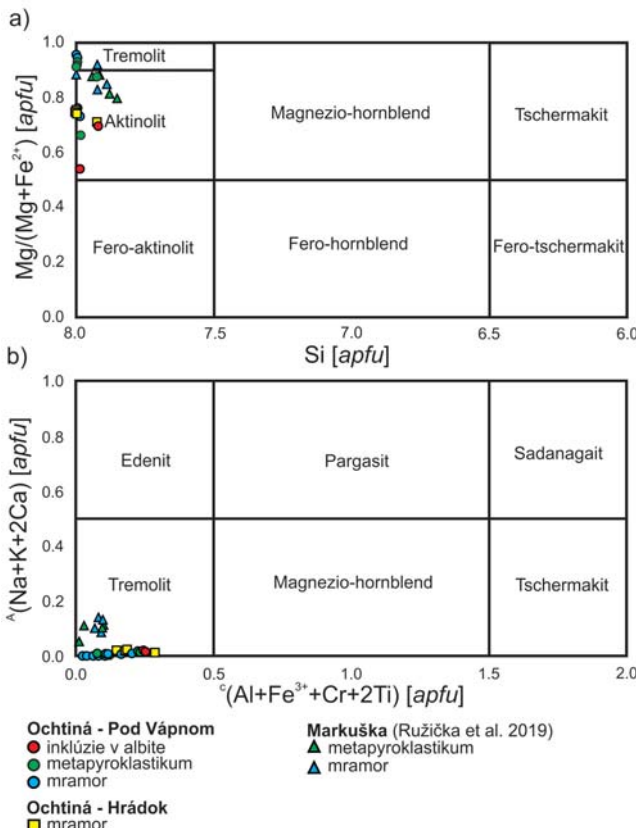
Obr. 3. Porovnanie mikroskopických (a, c) a BSE detailov (b, d) študovaných minerálov z lokality Ochtiná – Pod Vápnom. Minerálne asociáciu v laminánoch bazaltových metapyroklastík tvorí prevažne jemnozrnný agregát chloritu, v ktorom sú prítomné stípčeky amfibolov. Agregáty epidotu a albitu sú prítomné spolu s akcesorickým titanitom a fluórapatitom. Amfiboly lokálne prechádzajú aj do mramorovej časti. Význam použitých skratiek: Tr – tremolit, Act – aktinolit, Ep – epidot, Chl – chlorit, Ttn – titanit, Fap – fluorapatit, Cal – kalcit. Mikrofotografie P. Ružička, BSE foto S. Kurylo.

Fig. 3. Photomicrographs (a, c) and BSE images (b, d) of studied minerals from the Ochtiná – Pod Vápnom locality. The mineral association in the laminae of the basalt metapyroclastics consists of fine-grained chlorite aggregates with columnar crystals of amphiboles. Aggregates of epidote and albite are present with accessory titanite and fluorapatite. Locally, amphiboles occur in the marble parts. Abbreviations: Tr – tremolite, Act – actinolite, Ep – epidote, Chl – chlorite, Ttn – titanite, Fap – fluorapatite, Cal – calcite. Photomicrographs by P. Ružička, BSE images by S. Kurylo.



Obr. 4. Minerálna asociácia v kalcitovo-chloritovom fylite z lokality Ochtiná – Hrádok: a) aktinolit v mramorovej časti vzorky pozorovaný v skrižených nikoloch prechádzajúceho polarizovaného svetla; b) detto v BSE; c) distribúcia titanitu v asociácii s albitem, epidotom a chloritom v BSE; d) jemne zonálny pyrit s goethitovým lemom v BSE. Skratky minerálov ako na obr. 3. Mikrofotografiu vyhotobil P. Ružička, BSE foto S. Kurylo.

Fig. 4. Mineral association in calcite-chlorite phyllite from the locality Ochtiná – Hrádok: a) actinolite in the marble part of the sample observed in crossed nicols of transmitted polarized light; b) detto in BSE imaging; c) distribution of titanite in association with albite, epidote, and chlorite in BSE; d) zonal pyrite with goethite rim in BSE image. Abbreviations of minerals as in fig. 3. Photomicrographs by P. Ružička, BSE images by S. Kurylo.



Obr. 5. Analyzované amfiboly porovnané s údajmi v práci Ružička *et al.* (2019), ktoré sú vynesené do klasifikačných diagramov podľa: a) LEAKE *et al.* (1997); b) HAWTHORNE *et al.* (2012).

Fig. 5. Analysed amphiboles compared with data of RUŽIČKA *et al.* (2019), which are plotted in classification diagrams according to: a) LEAKE *et al.* (1997); b) HAWTHORNE *et al.* (2012).

Chlority

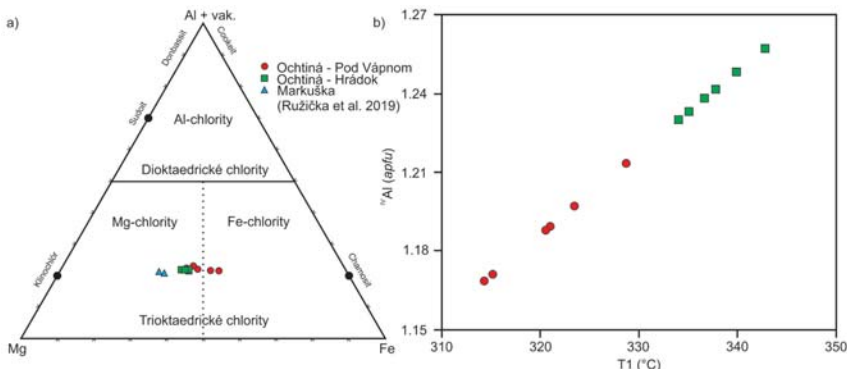
Tvoria šupinkové často jemnozrnné agregáty dominantne rozptýlené v laminách bazaltových metapyroklastík na lokalite Ochtiná – Pod Vápnom a kalcitovo-chloritových fylitov na lokalite Ochtiná – Hrádok. Vyskytujú sa v asociácii s epidotom, albitem, titanitem, fluórapatitom a amfibolmi. Z hľadiska chemického zloženia sú klasifikované v poliach klinochlóru a chamositu (obr. 6a; tab. 3). Identifikované boli rozdielne v chemickom zložení klinochlórov na obidvoch skúmaných lokalitách. Klinochlór v laminách bazaltových metapyroklastík z lokality Ochtiná – Pod Vápnom obsahuje nižšie hodnoty Mg (2,40–2,60 apfu) a vyššie hodnoty Fe²⁺ (2,03–2,24 apfu), ako klinochlór z kalcitovo-chloritových fylitov z lokality Ochtiná – Hrádok (Mg 2,56–2,69 apfu; Fe²⁺ 1,98–2,11 apfu). V konečnom dôsledku sa tieto hodnoty spolu s obsahmi ^{IV}Al³⁺ premietajú do vypočítaných teplotných podmienok regionálnej metamorfózy (obr. 6b).

Klinochlór z lokality Ochtiná – Hrádok dosahuje vyššie teplotné intervale (T₁ = 334–343 °C; T₂ = 323–332 °C) ako klinochlór z lokality Ochtiná – Pod Vápnom (T₁ = 315–323 °C; T₂ = 304–313 °C). Podobne nižšie hodnoty dosahuje chamosit z lokality Ochtiná – Pod Vápnom (T₁ = 314–329 °C; T₂ = 303–318 °C). Smerodajná odchýlka vypočítaných teplôt chloritov dosahuje hodnotu 9,5 °C.

Tabuľka 3. Reprezentatívne elektrónové mikroanalýzy chloritov (hm. %) prepočítané na 14 kyslikov (*apfu*). Symbol * vyjadruje dopyčitanie H_2O na základe ideálnej stechiometrie chloritov, 8 *apfu* $(OH + F)^-$. Symbol T1 vyjadruje teploty vypočítané chloritovým termometrom podľa kalibrácie CATHELINEAU (1988) a T2 podľa kalibrácie JOWETT (1991).

Table 3. Representative electron microanalyses of chlorites (wt.%) calculated on 14 oxygens (*apfu*). The * symbol indicates content of H_2O calculated on ideal amphibole stoichiometry, 8 *apfu* of $(OH + F)^-$. The symbol T1 expresses temperatures calculated with a chlorite thermometer according to the calibration of CATHELINEAU (1988) and T2 according to the calibration of JOWETT (1991).

Lokalita	Ochťiná - Pod Vápnom						Ochťiná - Hrádok					
	Chamosit		Klinochlór				Klinochlór					
	Analyza	1	2	3	4	5	6	1	2	3	4	5
SiO ₂	25,44	25,33	25,93	26,23	26,15	25,84	25,98	26,08	26,17	25,90	25,71	25,71
TiO ₂	0,00	0,04	0,00	0,00	0,19	0,00	0,15	0,04	0,15	0,14	0,00	0,15
Al ₂ O ₃	18,59	19,05	19,42	19,77	19,51	19,62	20,07	20,11	20,20	20,16	20,08	20,19
MgO	13,31	12,77	14,87	15,15	16,25	15,97	16,63	16,98	16,39	16,16	16,49	16,11
FeO	26,44	28,46	24,69	23,45	22,54	22,53	22,61	22,31	23,71	23,50	23,07	23,68
MnO	0,08	0,00	0,08	0,19	0,09	0,05	0,10	0,07	0,13	0,06	0,00	0,07
Na ₂ O	0,00	0,00	0,00	0,03	0,00	0,00	0,00	0,00	0,00	0,00	0,00	0,00
K ₂ O	0,03	0,02	0,02	0,02	0,03	0,00	0,00	0,00	0,00	0,00	0,00	0,00
H ₂ O*	10,50	10,59	10,95	10,78	10,84	11,06	11,26	11,29	11,10	11,00	11,16	11,14
F	0,58	0,66	0,22	0,72	0,68	0,00	0,00	0,00	0,55	0,54	0,10	0,22
-O=F	-0,24	-0,28	-0,09	-0,30	-0,29	0,00	0,00	0,00	-0,23	-0,23	-0,04	-0,09
Suma	94,73	96,64	96,09	96,04	95,99	95,07	96,80	96,88	98,17	97,24	96,57	97,17
Si ⁴⁺	2,832	2,787	2,812	2,829	2,811	2,803	2,767	2,770	2,762	2,759	2,752	2,743
^{IV} Al ³⁺	1,168	1,213	1,188	1,171	1,189	1,197	1,233	1,230	1,238	1,241	1,248	1,257
Suma <i>T</i>	4,000	4,000	4,000	4,000	4,000	4,000	4,000	4,000	4,000	4,000	4,000	4,000
Ti ⁴⁺	0,000	0,003	0,000	0,000	0,015	0,000	0,012	0,003	0,012	0,011	0,000	0,012
^V Al ³⁺	1,270	1,257	1,294	1,342	1,282	1,312	1,286	1,288	1,275	1,289	1,285	1,282
Mg ²⁺	2,208	2,094	2,404	2,436	2,604	2,583	2,640	2,689	2,579	2,566	2,631	2,562
Fe ²⁺	2,461	2,619	2,239	2,115	2,026	2,044	2,014	1,982	2,093	2,093	2,065	2,113
Mn ²⁺	0,008	0,000	0,007	0,017	0,008	0,005	0,009	0,006	0,012	0,005	0,000	0,006
Na ⁺	0,000	0,000	0,000	0,006	0,000	0,000	0,000	0,000	0,000	0,000	0,000	0,000
K ⁺	0,004	0,003	0,003	0,003	0,004	0,000	0,000	0,000	0,000	0,000	0,000	0,000
Suma <i>A</i>	5,951	5,976	5,948	5,919	5,940	5,943	5,961	5,968	5,970	5,965	5,981	5,975
F	0,204	0,230	0,075	0,246	0,231	0,000	0,000	0,000	0,184	0,182	0,034	0,074
OH	7,796	7,770	7,925	7,754	7,769	8,000	8,000	8,000	7,816	7,818	7,966	7,926
Suma	8,000	8,000	8,000	8,000	8,000	8,000	8,000	8,000	8,000	8,000	8,000	8,000
Fe/(Fe+Mg)	0,53	0,56	0,48	0,46	0,44	0,44	0,43	0,42	0,45	0,45	0,44	0,45
T1 (°C)	314	329	321	315	321	323	335	334	337	338	340	343
T2 (°C)	303	318	310	304	310	313	324	323	326	327	329	332



Obr. 6. Zobrazenie analyzovaných chloritov: a) v Al +□-Mg-Fe klasifikačnom diagrame (ZANE a WEISS 1998) porovnanie s údajmi v práci RUŽIČKA *et al.* (2019); b) teplotná závislosť od obsahu ^{IV}Al (*apfu*) na princípe kalibrácie CATHELINEAU (1988).

Fig. 6. Display of the analyzed chlorites: a) v Al +□-Mg-Fe classification diagram (ZANE & WEISS 1998) compared with data from RUŽIČKA *et al.* (2019); b) temperature dependence of ^{IV}Al (*apfu*) based on calibration of CATHELINEAU (1988).

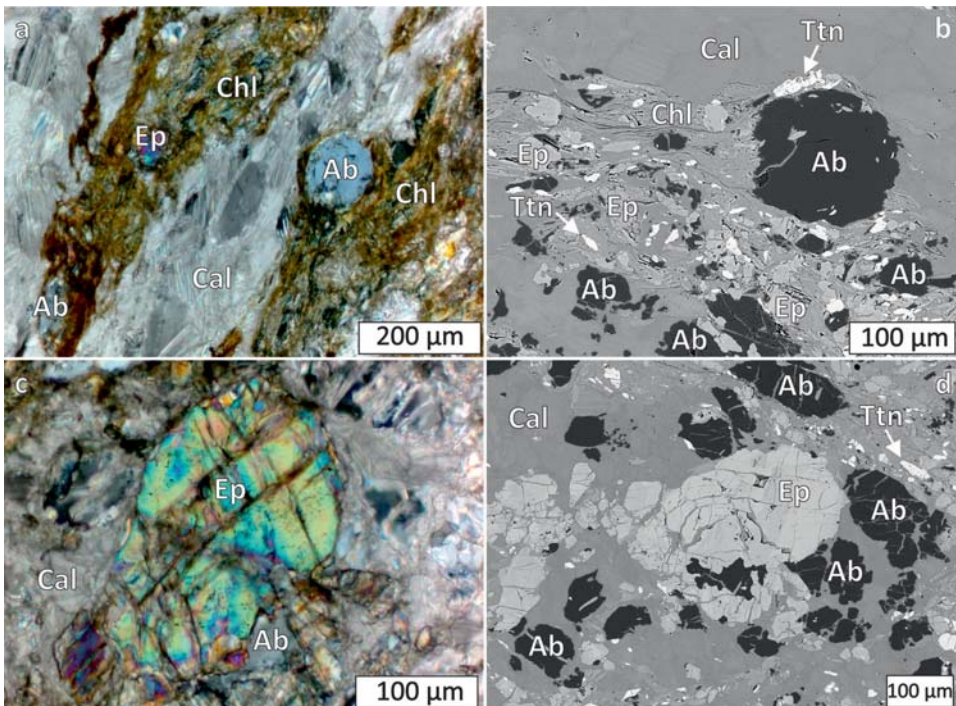
Epidot

Na obidvoch skúmaných lokalitách v bazaltových metapyroklastikách a kalcitovo-chloritových fylitoch epidot vytvára nepravidelné drobno- až strednozrnné agregáty, zriedkavo tvorí idiomorfne obmedzené kryštály (obr. 7c, d). Rozdiely v chemickom zložení epidotu sú minimálne (tab. 4). Epidot v bazaltových metapyroklastikách z lokality Ochtiná – Pod Vápnom obsahuje užší interval v obsahoch Fe^{3+} (0,68–0,86 apfu) a Al (0,14–0,26 apfu), na rozdiel od epidotu v kalcitovo-chloritových fylitoch z lokality Ochtiná – Hrádok (Fe^{3+} 0,52–0,95 apfu; Al 0,03–0,45 apfu).

Tabuľka 4. Reprezentatívne elektrónové mikroanalýzy epidotu (hm. %), prepočítané na 8 kationov (apfu). Symbol * reprezentuje výpočet Fe_2O_3 z nábojovej bilancie molekuly. Symbol ** vyjadruje dopočítanie H_2O na základe ideálnej stechiometrie epidotov, 1 apfu (OH^-).

Table 4. Representative electron microanalyses of epidote (wt. %), calculated on 8 cations (apfu). * symbol represents calculated Fe_2O_3 from charge balance. ** symbol indicates content of H_2O calculated on ideal epidote stoichiometry, 1 apfu of (OH^-).

Lokalita	Ochtiná – Pod Vápnom						Ochtiná – Hrádok					
	1	2	3	4	5	6	1	2	3	4	5	6
SiO_2	37,01	37,63	37,54	37,73	36,97	37,80	37,79	37,86	36,65	36,64	37,74	37,77
TiO_2	0,00	0,16	0,12	0,07	0,00	0,00	0,00	0,00	0,13	0,00	0,00	0,00
Al_2O_3	22,61	23,43	23,73	23,98	22,23	23,29	25,04	25,45	21,02	21,39	26,01	26,11
V_2O_3	0,13	0,24	0,22	0,11	0,06	0,00	0,16	0,12	0,14	0,15	0,13	0,28
Cr_2O_3	0,10	0,06	0,00	0,00	0,00	0,00	0,09	0,06	0,00	0,06	0,00	0,00
Fe_2O_3^*	14,08	11,80	11,15	11,39	13,63	12,04	9,47	9,67	15,41	14,72	8,97	8,61
FeO	0,48	1,12	0,92	0,90	0,79	1,23	0,72	1,00	0,32	0,92	0,58	0,37
MnO	0,06	0,00	0,09	0,12	0,32	0,08	0,00	0,00	0,08	0,07	0,05	0,16
MgO	0,00	0,00	0,00	0,00	0,00	0,00	0,00	0,00	0,04	0,00	0,00	0,05
SrO	0,17	0,15	0,09	0,23	0,58	0,05	0,67	0,60	1,23	0,90	0,42	0,51
CaO	22,47	22,64	22,69	22,68	21,87	22,60	22,69	22,50	21,86	21,56	22,79	22,77
H_2O^{**}	1,86	1,87	1,86	1,87	1,84	1,87	1,87	1,88	1,83	1,83	1,88	1,88
Suma	98,97	99,10	98,41	99,07	98,29	98,96	98,50	99,14	98,71	98,23	98,57	98,52
Ca^{2+}	0,996	1,000	0,994	0,992	0,978	0,995	1,000	1,000	0,994	0,995	0,997	0,989
Mn^{2+}	0,004	0,000	0,006	0,008	0,022	0,005	0,000	0,000	0,006	0,005	0,003	0,011
Suma A1	1,000	1,000	1,000	1,000	1,000	1,000	1,000	1,000	1,000	1,000	1,000	1,000
Sr^{2+}	0,008	0,007	0,004	0,011	0,027	0,002	0,031	0,028	0,058	0,043	0,019	0,024
Ca^{2+}	0,948	0,945	0,963	0,952	0,932	0,949	0,946	0,918	0,922	0,900	0,948	0,954
Suma A2	0,956	0,952	0,968	0,963	0,959	0,952	0,977	0,945	0,981	0,942	0,968	0,977
VIAl^{3+}	1,000	1,000	1,000	1,000	1,000	1,000	1,000	1,000	1,000	1,000	1,000	1,000
Suma M1	1,000	1,000	1,000	1,000	1,000	1,000	1,000	1,000	1,000	1,000	1,000	1,000
VIAl^{3+}	1,000	1,000	1,000	1,000	1,000	1,000	1,000	1,000	1,000	1,000	1,000	1,000
Suma M2	1,000	1,000	1,000	1,000	1,000	1,000	1,000	1,000	1,000	1,000	1,000	1,000
VIAl^{3+}	0,141	0,214	0,252	0,261	0,135	0,204	0,363	0,386	0,027	0,068	0,442	0,451
Ti^{4+}	0,000	0,010	0,007	0,004	0,000	0,000	0,000	0,000	0,008	0,000	0,000	0,000
Cr^{3+}	0,006	0,004	0,000	0,000	0,000	0,000	0,006	0,004	0,000	0,004	0,000	0,000
V^{3+}	0,008	0,015	0,014	0,007	0,004	0,000	0,010	0,008	0,009	0,010	0,008	0,018
Fe^{3+}	0,856	0,712	0,675	0,685	0,836	0,728	0,571	0,579	0,949	0,908	0,538	0,516
Mg^{2+}	0,000	0,000	0,000	0,000	0,000	0,000	0,000	0,000	0,005	0,000	0,000	0,006
Fe^{3+}	0,032	0,075	0,062	0,060	0,054	0,083	0,048	0,066	0,022	0,063	0,038	0,025
Suma M3	1,044	1,030	1,010	1,018	1,028	1,014	0,997	1,043	1,019	1,053	1,026	1,015
Si^{4+}	2,989	3,017	3,022	3,019	3,013	3,034	3,025	3,012	2,999	3,005	3,006	3,008
IVAl^{3+}	0,011	0,000	0,000	0,000	0,000	0,000	0,000	0,000	0,001	0,000	0,000	0,000
Suma T	3,000	3,017	3,022	3,019	3,013	3,034	3,025	3,012	3,000	3,005	3,006	3,008
O^2-	24,000	24,000	24,000	24,000	24,000	24,000	24,000	24,000	24,000	24,000	24,000	24,000
Suma O4	24,000	24,000	24,000	24,000	24,000	24,000	24,000	24,000	24,000	24,000	24,000	24,000
OH^-	1,000	1,000	1,000	1,000	1,000	1,000	1,000	1,000	1,000	1,000	1,000	1,000

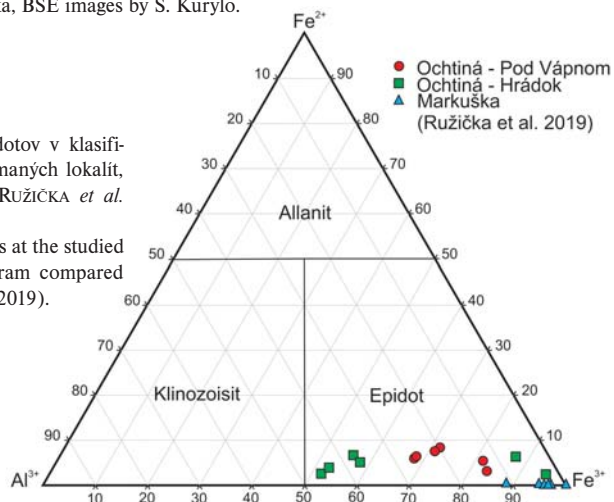


Obr. 7. Minerálna asociácia skúmaných vzoriek z lokality Ochtiná – Pod Vápnom: a) laminy bazaltového metapyroklastika obsahujú jemnozrnný chloritový agregát s porfyroblastami albítov a agregátmi epidótot pozorované v skrižených nikoloch prechádzajúceho svetla mikroskopu; b) detto v BSE zobrazení; c) detail epidótu v rámci mramorovej časti vzorky; d) detto v BSE zobrazení s okolitými albítmi. Skratky minerálov ako na obr. 3. Mikrofotografie P. Ružička, BSE foto S. Kurylo.

Fig. 7. Mineral association of the studied samples from the Ochtiná – Pod Vápnom locality: a) basalt metapyroclastic laminae containing fine-grained chlorite aggregates with albite porphyroblasts and epidote aggregates, observed in crossed nicols and transmitted polarized light; b) detto in BSE imaging; c) detail of epidote in the marble part of sample; d) detto in BSE imaging. Abbreviations of minerals as in fig. 3. Photomicrographs by P. Ružička, BSE images by S. Kurylo.

Obr. 8. Distribúcia analyzovaných epidótot v klasifikačnom diagrame v rámci skúmaných lokalít, ktoré sú porovnané s údajmi RUŽIČKA *et al.* (2019).

Fig. 8. Distribution of analysed epidotes at the studied localities in classification diagram compared with data from RUŽIČKA *et al.* (2019).



Albit

Tvorí prevažne hypidiomorfne obmedzené porfyroblasty (obr. 7a, b) v bazaltových metapyroklastikách a v kalcitovo-chloritových fylitoch na skúmaných lokalitách. Z hľadiska chemického zloženia identifikovaný albit dosahuje hodnotu takmer čistého koncového člena v intervale Ab_{99-100} s nízkymi hodnotami ostatných komponentov: $\text{Or}_{0,2}$ a $\text{An}_{0,7}$ (tab. 5).

Tabuľka 5. Reprezentatívne elektrónové mikroanalýzy albitu (hm. %) prepočítané na 8 kyslikov ($apfu$) s vyjadrením zastúpenia koncových členov (mol. %).

Table 5. Representative electron microanalyses of albite (wt. %) calculated on 8 oxygens ($apfu$) with representation of end members (mol. %).

Lokalita	Ochtiná – Pod Vápnom						Ochtiná – Hrádok					
	1	2	3	4	5	6	1	2	3	4	5	6
SiO_2	68,22	67,74	68,23	68,50	68,73	68,52	69,02	67,85	68,89	68,81	68,78	68,33
TiO_2	0,00	0,00	0,00	0,04	0,00	0,00	0,00	0,16	0,07	0,00	0,00	0,00
Al_2O_3	19,22	19,64	19,15	19,55	19,71	19,24	19,51	19,67	20,01	19,67	19,62	19,42
Fe_2O_3	0,00	0,00	0,13	0,00	0,10	0,07	0,24	0,09	0,00	0,00	0,07	0,07
SrO	0,06	0,00	0,00	0,00	0,05	0,00	0,06	0,06	0,06	0,06	0,00	0,00
CaO	0,06	0,14	0,00	0,04	0,11	0,00	0,08	0,15	0,16	0,00	0,04	0,04
Na_2O	11,85	11,43	11,67	11,72	11,59	11,66	11,96	11,68	12,00	12,00	11,72	11,61
K_2O	0,04	0,03	0,04	0,03	0,04	0,00	0,00	0,00	0,03	0,00	0,00	0,00
Suma	99,45	98,98	99,22	99,88	100,33	99,49	100,87	99,66	101,22	100,54	100,23	99,47
Si^{4+}	2,998	2,987	3,002	2,994	2,991	3,005	2,992	2,977	2,977	2,991	2,995	2,998
Ti^{4+}	0,000	0,000	0,000	0,001	0,000	0,000	0,000	0,005	0,002	0,000	0,000	0,000
Al^{3+}	0,996	1,021	0,993	1,007	1,011	0,994	0,997	1,017	1,019	1,008	1,007	1,004
Fe^{3+}	0,000	0,000	0,004	0,000	0,003	0,002	0,008	0,003	0,000	0,000	0,002	0,002
Suma T	3,994	4,007	4,000	4,002	4,005	4,001	3,997	4,002	3,999	3,998	4,004	4,004
Sr^{2+}	0,002	0,000	0,000	0,000	0,001	0,000	0,002	0,002	0,002	0,002	0,000	0,000
Ca^{2+}	0,003	0,007	0,000	0,002	0,005	0,000	0,004	0,007	0,007	0,000	0,002	0,002
Na^+	1,010	0,977	0,996	0,993	0,978	0,991	1,005	0,994	1,005	1,011	0,989	0,987
K^+	0,002	0,002	0,002	0,002	0,002	0,000	0,000	0,000	0,002	0,000	0,000	0,000
Suma M	1,016	0,985	0,998	0,997	0,987	0,991	1,011	1,002	1,016	1,013	0,991	0,989
$\text{NaAlSi}_3\text{O}_8$ (Ab)	99,50	99,16	99,77	99,64	99,25	100,00	99,63	99,30	99,11	100,00	99,81	99,81
$\text{CaAl}_2\text{Si}_3\text{O}_8$ (An)	0,28	0,67	0,00	0,19	0,52	0,00	0,37	0,70	0,73	0,00	0,19	0,19
KAlSi_3O_8 (Or)	0,22	0,17	0,23	0,17	0,23	0,00	0,00	0,00	0,16	0,00	0,00	0,00

Titanit

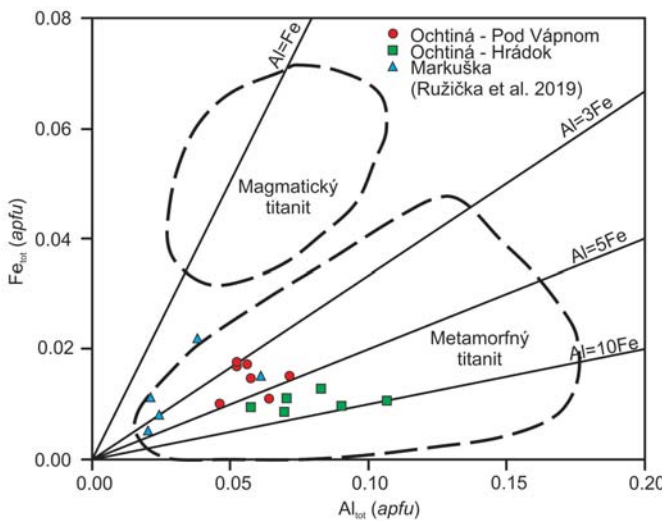
Vyskytuje sa v podobe izolovaných zrn nepravidelného alebo oválneho tvaru (obr. 4c) až agregátov v bazaltových metapyroklastikách a kalcitovo-chloritových fylitoch na obidvoch skúmaných lokalitách v asociácii s epidotom, chloritmi a albitom.

Z chemického hľadiska majú identifikované titanity obsahy Ca (0,98–1,00 $apfu$) a Si (1,00–1,02 $apfu$) veľmi blízke ideálnemu koncovému zloženiu. Mierne znížený je obsah Ti (0,87–0,92 $apfu$), spôsobený substitúciou $(\text{Al}, \text{Fe})^{3+} + (\text{OH}, \text{F})^- \leftrightarrow \text{Ti}^{4+} + \text{O}^{2-}$. Zvýšený je obsah F do 0,61 hm. % a $(\text{OH})^-$ do 0,08 $apfu$ (tab. 6). Analyzované titanity na základe distibúcie Fe verus Al sú metamorfného pôvodu (obr. 9).

Tabuľka 6. Reprezentatívne elektrónové mikroanalýzy titanitu (hm. %) prepočítané na 3 kationy (*apfu*). Obsahy $(\text{OH})^-$ v titanite boli vypočítané podľa ENAMI *et al.* (1993).

Table 6. Representative electron microanalyses of titanite (wt. %) calculated on 3 cations (*apfu*). Contents of $(\text{OH})^-$ in titanite were calculated according to ENAMI *et al.* (1993).

Lokalita	Ochtiná - Pod Vápnom						Ochtiná - Hrádok						
	Analýza	1	2	3	4	5	6		1	2	3	4	5
SiO_2	30,77	30,72	30,16	30,72	30,42	29,99	30,69	30,67	30,73	30,56	30,67	30,69	30,69
TiO_2	36,24	36,41	36,69	36,44	36,58	35,37	35,54	36,43	36,13	36,11	35,20	36,00	36,00
Al_2O_3	1,64	1,47	1,32	1,33	1,42	1,80	2,30	1,78	1,46	1,80	2,75	2,14	
Fe_2O_3	0,44	0,59	0,70	0,68	0,69	0,60	0,39	0,34	0,38	0,44	0,43	0,52	
V_2O_5	0,44	0,45	0,38	0,41	0,42	0,52	0,32	0,29	0,40	0,42	0,34	0,34	
CaO	28,93	27,94	27,70	27,95	27,71	27,59	27,69	28,22	28,06	27,87	28,36	28,59	
BaO	0,15	0,16	0,15	0,08	0,08	0,10	0,12	0,10	0,14	0,10	0,07	0,09	
SrO	0,15	0,16	0,15	0,08	0,08	0,10	0,12	0,10	0,14	0,10	0,07	0,09	
Na_2O	0,00	0,00	0,00	0,00	0,00	0,09	0,00	0,00	0,00	0,07	0,00	0,00	
F	0,36	0,23	0,14	0,17	0,00	0,13	0,44	0,10	0,00	0,00	0,61	0,40	
-O=F	-0,15	-0,10	-0,06	-0,07	0,00	-0,05	-0,19	-0,04	0,00	0,00	-0,26	-0,17	
Suma	98,07	98,03	97,33	97,79	97,40	96,24	97,42	97,99	97,44	97,47	98,25	98,69	
Si^{4+}	1,016	1,016	1,006	1,018	1,011	1,006	1,018	1,011	1,019	1,012	1,006	1,004	
Ti^{4+}	0,900	0,906	0,920	0,908	0,915	0,893	0,886	0,903	0,902	0,899	0,869	0,886	
Al^{3+}	0,064	0,057	0,052	0,052	0,056	0,071	0,090	0,069	0,057	0,070	0,106	0,083	
Fe^{3+}	0,011	0,015	0,018	0,017	0,017	0,015	0,010	0,009	0,009	0,011	0,011	0,013	
V^{3+}	0,012	0,012	0,010	0,011	0,011	0,014	0,009	0,008	0,011	0,011	0,009	0,009	
Ca^{2+}	0,992	0,990	0,990	0,992	0,987	0,992	0,984	0,997	0,997	0,989	0,997	1,002	
Ba^{2+}	0,002	0,002	0,002	0,001	0,001	0,001	0,002	0,001	0,002	0,001	0,001	0,001	
Sr^{2+}	0,003	0,003	0,003	0,002	0,002	0,002	0,002	0,002	0,003	0,002	0,001	0,002	
Na^+	0,000	0,000	0,000	0,000	0,000	0,006	0,000	0,000	0,000	0,004	0,000	0,000	
Suma	3,000	3,000	3,000	3,000	3,000	3,000	3,000	3,000	3,000	3,000	3,000	3,000	
F	0,038	0,024	0,015	0,018	0,000	0,014	0,046	0,010	0,000	0,000	0,063	0,041	
OH	0,037	0,048	0,055	0,051	0,073	0,073	0,053	0,067	0,067	0,081	0,054	0,054	
Suma	0,075	0,072	0,069	0,069	0,073	0,086	0,100	0,078	0,067	0,081	0,117	0,095	



Obr. 9. Variabilita v chemickom zložení analyzovaných titanitov porovnané s údajmi v práci RUŽIČKA *et al.* (2019) na základe distribúcie Fe verus Al (apfu). Titanity spadajú do metamorfickeho poľa podľa klasifikácie KOWALLIS *et al.* (1997).

Fig. 9. Variability of chemical composition of analysed titanites compared with data from RUŽIČKA *et al.* (2019) based on distribution of Fe vs Al (apfu). Titanites are present in the metamorphic field according to classification by KOWALLIS *et al.* (1997).

Fluórapatit

Vyskytuje sa vo forme akcesorických izolovaných kryštálov v bazaltových metaproklastikách a kalcitovo-chloritových fylitoch na obidvoch skúmaných lokalitách. Z kryštalochémického hľadiska fluórapatit predstavuje koncový člen s obsahom F 0,83–1,16 *apfu* bez zvýšenej koncentrácie prvkov vzácnych zemín, ktorá dosahuje hodnotu 0,006 *apfu* (tab. 7).

Tabuľka 7. Reprezentatívne elektrónové mikroanalýzy fluórapatitu (hm. %), prepočítané na 8 kationov (*apfu*) s določaním H_2O^* na základe ideálnej stiechiometrie apatitov, $(\text{OH} + \text{F})^- = 1 \text{ apfu}$.

Table 7. Representative electron microanalyses of fluorapatite (wt. %), calculated on 8 cations (*apfu*) with calculated H_2O^* based on ideal stoichiometry of apatites, $(\text{OH} + \text{F})^- = 1 \text{ apfu}$.

Lokalita	Ochtiná – Pod Vápnom			Ochtiná – Hrádok						
	1	2	3	1	2	3	4	5	6	7
P_2O_5	41,76	41,09	41,81	42,13	42,29	42,12	41,84	42,63	41,80	41,96
CaO	54,23	54,79	54,36	54,67	54,72	54,36	54,72	55,21	54,91	54,66
SiO_2	0,25	0,13	0,02	0,08	0,00	0,05	0,04	0,00	0,00	0,03
FeO	0,51	0,14	0,06	0,29	0,12	0,25	0,19	0,18	0,17	0,14
SrO	0,00	0,00	0,00	0,06	0,06	0,08	0,08	0,04	0,09	0,04
BaO	0,24	0,12	0,15	0,00	0,00	0,00	0,00	0,00	0,00	0,00
H_2O^*	0,24	0,00	0,30	0,00	0,00	0,00	0,02	0,00	0,13	0,10
F	3,22	3,73	3,08	3,84	4,02	4,32	3,68	4,02	3,47	3,51
$-\text{O}=\text{F}$	-1,36	-1,57	-1,30	-1,62	-1,69	-1,82	-1,55	-1,69	-1,46	-1,48
Suma	99,09	98,43	98,48	99,45	99,52	99,36	99,02	100,39	99,10	98,96
P^{5+}	3,002	2,967	3,020	3,016	3,029	3,028	3,005	3,026	2,998	3,015
Si^{4+}	0,021	0,011	0,002	0,007	0,000	0,004	0,003	0,000	0,000	0,003
Suma T	3,023	2,978	3,022	3,023	3,029	3,032	3,008	3,026	2,998	3,017
Ca^{2+}	4,933	5,008	4,969	4,954	4,960	4,946	4,974	4,960	4,985	4,971
Fe^{2+}	0,036	0,010	0,004	0,021	0,008	0,018	0,013	0,013	0,012	0,010
Sr^{2+}	0,000	0,000	0,000	0,003	0,003	0,004	0,004	0,002	0,004	0,002
Ba^{2+}	0,008	0,004	0,005	0,000	0,000	0,000	0,000	0,000	0,000	0,000
Suma M	4,977	5,022	4,978	4,977	4,971	4,968	4,992	4,974	5,002	4,983
F	0,865	1,000	0,831	1,000	1,000	1,000	0,987	1,000	0,930	0,942
OH	0,135	0,000	0,169	0,000	0,000	0,000	0,013	0,000	0,070	0,058
Suma A	1,000	1,000	1,000	1,000	1,000	1,000	1,000	1,000	1,000	1,000

Pyrít

Na lokalite Ochtiná – Hrádok bol identifikovaný v mramoroch vo forme izolovaných oktaedrických kryštálov (obr. 4d), ktorý je blízky ideálnemu koncovému členu. Smerom od stredu ku okraju stúpa obsah Co do 0,05 *apfu* (tab. 8).

Kalcit

Analyzovaný kalcit z mramorov v rámci skúmaných lokalít obsahuje mierne zvýšené hodnoty Fe a Mg do 0,01 *apfu* (tab. 9). Prítomnosť dolomitu nebola potvrdená.

Tabuľka 8. Reprezentatívne elektrónové mikroanalýzy pyritu (hm. %) prepočítané na sumu všetkých atómov (3 apfu).

Table 8. Representative electron microprobe analysis of pyrite (wt. %) calculated on sum of all atoms (3 apfu).

Analýza	Ochtiná – Hrádok				
	1	2	3	4	5
Fe	45,88	43,29	45,15	45,46	44,00
Co	0,14	2,26	0,35	0,31	1,66
Ni	0,02	0,00	0,00	0,04	0,02
S	54,00	53,96	54,97	55,26	54,23
As	0,35	0,48	0,00	0,00	0,45
Se	0,00	0,22	0,00	0,00	0,00
Suma	100,39	100,20	100,48	101,06	100,37
Fe	0,981	0,928	0,959	0,960	0,940
Co	0,003	0,046	0,007	0,006	0,034
Ni	0,000	0,000	0,000	0,001	0,000
Suma M	0,984	0,974	0,966	0,967	0,974
S	2,010	2,015	2,034	2,033	2,018
As	0,006	0,008	0,000	0,000	0,007
Se	0,000	0,003	0,000	0,000	0,000
Suma A	2,016	2,026	2,034	2,033	2,026

Tabuľka 9. Reprezentatívne elektrónové mikroanalýzy kalcitu (hm. %) prepočítané na 1 katión (apfu). Symbol * vyjadruje dopočítanie CO_2 na základe ideálnej stechiometrie kalcitu.

Table 9. Representative electron microanalyses of calcite (wt. %) calculated on 1 cation (apfu). The * symbol indicates the calculation of CO_2 based on ideal stoichiometry of calcite.

Analýza	Ochtiná – Pod Vápnom				Ochtiná – Hrádok			
	1	2	3	4	1	2	3	4
FeO	0,38	0,23	0,22	0,24	0,38	0,31	0,48	0,64
MnO	0,09	0,06	0,11	0,06	0,09	0,07	0,06	0,09
MgO	0,17	0,27	0,09	0,25	0,32	0,20	0,37	0,42
CaO	55,93	55,80	55,67	55,70	55,47	55,81	55,45	55,25
CO_2^*	44,40	44,32	43,91	44,21	44,23	44,38	44,32	44,21
Suma	100,98	100,68	100,00	100,45	100,49	100,76	100,68	100,61
Fe^{2+}	0,005	0,003	0,003	0,003	0,005	0,004	0,007	0,009
Mn^{2+}	0,001	0,001	0,002	0,001	0,001	0,001	0,001	0,001
Mg^{2+}	0,004	0,007	0,002	0,006	0,008	0,005	0,009	0,010
Ca^{2+}	0,989	0,989	0,993	0,990	0,986	0,990	0,983	0,980
Suma	0,999	1,000	1,000	1,000	1,000	1,000	1,000	1,000

5. DISKUSIA

Pred akceptovaním faciálnej afinity mezozoických členov k meliatiku v rámci príkrovu Bôrky (LEŠKO a VARGA 1980; MELLO *et al.* 1997, 1998) boli skúmané mramory v okolí Ochtinej pôvodne zaradené do karbónu (ANDRUSOV 1953; MIŠÍK 1953; MAHEL 1954; FUSÁN 1959; ABONYI 1971). Dúbravské vrstvy karbónskeho veku, v rámci ktorých sa striedajú mramory s bazaltovými metapyroklastikami a čiastočne s fylitmi, definoval FUSÁN (1959) podľa typovej lokality Ochtinská Dúbrava.

Bazaltové metapyroklastiky s pozvoľnými prechodom do chloritových fylitov sú produkty retrogránej metamorfózy metabázických hornín príkrovu Bôrky v podmienkach fácie zelených bridlíc, čo sme potvrdili na základe vypočítaného teplotného intervalu chloritov ($303\text{--}343 \pm 9,5^\circ\text{C}$). Variabilné zastúpenie metabázických hornín v rámci príkrovu Bôrky odzrkadľuje diverzitu zloženia protolitu a rôznu intenzitu metamorfných podmienok. Protolitom metabázických hornín boli prevažne bazalty strednooceánskych chrbotov N-MORB (IVAN a KRONOME 1996; MAZZOLI a VOZÁROVÁ 1998). Na základe výsledkov práce POTOČNÝ *et al.* (2020), môžeme konštatovať, že interné resp. východné výskytu príkro-

vu Bôrky boli pravdepodobne ponorené hlbšie a zároveň boli rýchlejšie exhumované, čím si zachovali znaky subdukčných procesov (prográdna vysokotlaková metamorfóza vo fácií modrých bridlíc s glaukofánom), kým externé resp. západné výskyty podľahli viac retrográdnej metamorfóze (fácia zelených bridlíc s dominantným aktinolitom a chloritmi). Polyfázový vývoj metamorfózy bázických hornín v rámci príkrovu Bôrky je známy (napr. FARYAD 1995a, 1999; IVAN 2002, 2007; DALLMEYER *et al.* 2008). V prvej fáze prebehla metamorfóza vo vysokotlakových podmienkach, druhá fáza zodpovedá izotermálному, synmetamorfnému a dekompresnému štadiu. Identický metamorfný vývoj na základe minerálnych asociácií opísali FARYAD (1995b) aj MAZZOLI a VOZÁROVÁ (1998) pre tmavé fylity príkrovu Bôrky. Vysokotlakovo-nízkoteplotnú metamorfózu charakterizuje minerálna asociácia, ktorá vznikla pri $380\text{--}460^\circ\text{C}$ a $0.9\text{--}1.2\text{ GPa}$ (FARYAD 1995a, b; FARYAD a HOINKES 1999) a podľa NEMCA *et al.* (2020) až pri 520°C a $1,55\text{ GPa}$. Metamorfné podmienky dúbravského súvrstvia v nižnoslanskej depresii, v rámci ktorej sú situované skúmané lokality, prebiehali podľa VOZÁROVEJ (1993) vo fácii zelených bridlíc stredno- až vysokotlakového typu.

Bazaltové metapyroplastiká z lokality Markuška (RUŽIČKA *et al.* 2019) obsahovali identickú minerálnu asociáciu tvorenú amfibolmi (aktinolit - tremolit), epidotom, chloritti (klinochlór - chamosit), titanitom a fluórapatitom, ako sme identifikovali v horninách zo skúmaných lokalít v okolí Ochtinej. Tlakovo-teplotné podmienky metamorfózy bazaltových metapyroplastík na lokalite Markuška v rámci okolia skúmaných lokalít, na základe minerálnej asociácie aktinolit + chlorit + epidot \pm muskovit \pm biotit + albit + kremeň stanovili ČERNÁK *et al.* (2005) na teplotu 500°C pri priemernom tlaku $3,9\text{ kbar}$. Koexistencia minerálov v mramoroch asociovaných s bazaltovými metapyroplastikami bola aproximovaná rovnicou $3\text{ dolomit} + 4\text{ kremeň} + \text{H}_2\text{O} = \text{talk} + 3\text{ kalcit} + 3\text{ CO}_2$ (ČERNÁK *et al.* 2005).

Jurský vek (165–150 Ma) alpínskej vysokotlakovej metamorfózy príkrovu Bôrky bol stanovený pomocou K/Ar a $^{40}\text{Ar}/^{39}\text{Ar}$ datovania svetlých slúď (MALUSKI *et al.* 1993; DALLMEYER *et al.* 1996; FARYAD a HENJEST-KUNST 1997a, b). Exhumácia modrých bridlíc do podložia akrečného klinu nastala v spodnej kriede ($147 \pm 17\text{ Ma}$; MÉRES *et al.* 2013). Spodnokriedové exhumáčné procesy boli potvrdené viacerými geochronologickými údajmi (FARYAD 1999; DALLMEYER *et al.* 2008; PUTIŠ *et al.* 2014, 2019; POTOČNÝ *et al.* 2020; NE-MEC *et al.* 2020). Štruktúrna transformácia príkrovu Bôrky ($89 \pm 18\text{ Ma}$; MÉRES *et al.* 2013) bola sprevádzaná retrográdnou metamorfózou vo fácii zelených bridlíc, ktorá súvisí so skúmanými lokalitami. Vo fylitoch na skúmanej lokalite Ochtiná – Hrádok boli identifikované dve generácie metamorfných monazitov. Staršia generácia monazitov s vekovým rozsahom $139 \pm 13\text{ Ma}$ až $151 \pm 5\text{ Ma}$ a mladšia generácia monazitov s vekovým rozsahom $97 \pm 5\text{ Ma}$ až $103 \pm 4\text{ Ma}$ (PLAŠIENKA *et al.* 2019; POTOČNÝ *et al.* 2020). Staršie monazity kulminujú na rozhraní jury a kriedy, čo sa spája s etapou exhumácie príkrovu Bôrky po uzavretí me-liatskeho oceánu a nasunutím akrečného komplexu na podložné gemenickum. Mladšie veky monazitov poukazujú na výraznú deformáčnu udalosť na začiatku vrchnej kriedy, čo sa interpretuje ako záZNAM počiatkov exhumácie vaporického metamorfného domu a strižných deformácií po jeho okrajoch (POTOČNÝ *et al.* 2020).

Mramory z okolia Ochtinej boli v minulosti predmetom pokusnej blokovej ťažby pre dekoračné využitie, ako to uvádzajú viaceré geologické prieskumné správy (ZBORNÁK a NOVÝSEDLÁK 1969; SUCHÁR *et al.* 1970; VARGA *et al.* 1977). Mramory vznikli počas karbonátovej sedimentácie, prerušovanej epizodickými erupciami vulkanického materiálu bázického charakteru, ktoré boli následne spoločne alpínsky regionálne metamorfované. Účinkom regionálnej metamorfózy rekryštalizovali pyroplastické polohy na dominantne zastúpenú zmes chloritu a epidotu, ktorá bola identifikovaná v skúmaných horninách. Bazaltové metapyroplastiká vytvárajú samostatné polohy alebo sa podielajú na kontaminácii mramorov jemne rozptýlenými časticami alebo rôzne hrubými laminovanými polohami, čo nedávalo perspektívnu pre dekoračné využitie (VARGA *et al.* 1977). Prítomnosť metapeliticke-metapyroplastickej kontaminácie v mramoroch sme detailne mineralogicky charakteri-

zovali (RUŽIČKA *et al.* 2020). V mramorovom masíve Ochtinskej Dúbravy, ktorý je situovaný v okoli skúmanej lokality Ochtiná – Pod Vápnom, bola v rámci lokálnych výskytov dolomitov identifikovaná Au a polymetalická Pb-Zn-Sb-As mineralizácia (RADKOVÁ *et al.* 2019).

6. ZÁVER

Mineralogický výskum mramorov, ktoré sú laminované bazaltovými metapyroklastikami s prechodom do kalcitovo-chloritových fyllitov na lokalitách v okolí Ochtinej v rámci meliatika príkrovu Bôrky, potvrdil určitú mieru interakcie identifikovaných fáz, ktoré sa podielajú na ich minerálnom zložení. Identifikovanú minerálnu asociáciu tvoria amfiboly (aktinolit – tremolit), chlority (klinochlór – chamosit), epidot a albit. Akcesoricky je zastúpený titanit, fluórapatit a pyrit. V porovnaní s prácou RUŽIČKA *et al.* (2019), ktorá sa zaoberala identickými horninami na lokalite Markuška boli identifikované určité rozdiely v chemickom zložení minerálnej asociácie, ktoré sú prehľadne graficky zobrazené v príslušných diagramoch (obr. 5–9).

Skúmané mramory vznikli rekryštalizáciou pôvodných sedimentárnych vápencov, ktoré boli lokálne obohacované pyroklastickým materiálom bázického zloženia. Počas alpínskej orogenézy prebiehala ich regionálna metamorfóza súčasne s tektonicky ovplyvnenou rekryštalizáciou, čím vznikli farebne a textúrne variabilné typy mramorov. Rekryštalizovaný pyroklastický materiál sa transformoval do laminárneho usporiadania v mramoroch. Litologické členy sa často striedajú, čo je výsledkom komplexného pôsobenia tektonometorfného vývoja.

POĎAKOVANIE

Za vyhotovenie mikrosondových analýz a BSE obrázkov ďakujeme Sergii Kurylovi z Ústavu vied o Zemi SAV, v.v.i. Vyslovujeme podčakovanie recenzentom článku za pripomienky, ktoré prispeli k skvalitneniu rukopisu. Táto práca bola podporovaná Agentúrou na podporu výskumu a vývoja na základe zmluvy č. APVV-19-0065 a grantom VEGA 1/0151/19.

LITERATURA

- ABONYI, A., 1971: Stratigraficko-tektonicky vývoj karbónu gemeríd západne od štitnického zlomu. – Geologické práce, Správy, 57, 339–348.
- ANDRUSOV, D., 1953: Vápence a bázické vyvreliny v paleozoiku Západných Karpát. – Geologický Zborník, Geologica Carpathica, 4, 3–4, 801–820.
- ARMBRUSTER, T., BONAZZI, P., AKASAKA, M., BERMANEC, V., CHOPIN, CH., GIERÉ, R., HEUSS ASSBICHLER, S., LIEBSCHER, A., MENCHETTI, S., PAN, Y., PASERO, M., 2006: Recommended nomenclature of epidote-group minerals. - European Journal of Mineralogy, 18, 5, 551–567.
- BAJANÍK, Š. (ED.), IVANIČKA, J., MELLO, J., PRISTAŠ, J., REICHWALDER, P., SNOPKO, L., VOZÁR, J., VOZÁROVÁ, A., 1984: Geologická mapa Slovenského rudoohoria, východná časť 1: 50 000. – Štátny geologický ústav Dionýza Stúra, Bratislava.
- CATHELINEAU, M., 1988: Cation site occupancy in chlorites and illites as a function of temperature. – Clay Minerals, 23, 4, 471–485.
- ČERNÁK, V., VOZÁROVÁ, A., DYDA, M., 2005: Petrológia a litológia mramorov a bazaltových metatufov dúbravského súvrstvia príkrovu Bôrky. – Zborník referátov z konferencie Geochémia 2015. Slovenská asociácia geochemikov, Katedra geochémie PríF UK, ŠGÚDŠ, Bratislava, 64–67.
- DALLMEYER, R. D., NEUBAUER, F., HANDLER, R., FRITZ, H., MÜLLER, W., PANA, D., PUTIŠ, M., 1996: Tectonothermal evolution of the internal Alps and Carpathians: Evidence from $^{40}\text{Ar}/^{39}\text{Ar}$ mineral and whole rock data. – Eclogae Geologicae Helvetiae, 89, 1, 203–277.
- DALLMEYER, R. D., NEUBAUER, F., FRITZ, H., 2008: The Meliata suture in the Carpathians: Regional significance and implications for the evolution of high-pressure wedges within collisional orogens. – In: Siegesmund S.,

- Fügenschuh B., Froitzheim N. (eds.): Tectonic aspects of the Alpine-Dinaride-Carpathian system. Geological Society, London, Special Publications, 298, 101–115.
- ENAMI, M., SUZUKI, K., LIOU, J. G., BIRD, D. K., 1993: Al-Fe³⁺ and F-OH substitutions in titanite and constraints on their P-T dependence. European Journal of Mineralogy, 5, 219–231.
- FARYAD, S. W., 1995a: Phase petrology and P-T conditions of mafic blueschists from the Meliata unit, West Carpathians, Slovakia. – Journal of Metamorphic Geology, 13, 6, 701–714.
- FARYAD, S. W., 1995b: Petrology and phase relations of low-grade high-pressure metasediments from the Meliata Unit (West Carpathians, Slovakia). – European Journal of Mineralogy, 7, 1, 71–87.
- FARYAD, S. W., 1999: Exhumation of the Meliata high-pressure rocks (Western Carpathians): Petrological and structural records in blueschists. – Acta Montanistica Slovaca 4, 2, 137–144.
- FARYAD, S. W., HENJES-KUNST, F., 1997a: Petrologic and geochronologic constraints on the tectonometamorphic evolution of the Meliata unit blueschists, Western Carpathians (Slovakia). – In: Grecula, P., Hovorka D., Putiš, M. (eds.), Geological evolution of the Western Carpathians, Geological Survey of the Slovak Republic, Bratislava, 145–154.
- FARYAD, S. W., HENJES-KUNST, F., 1997b: Petrological and K-Ar and ⁴⁰Ar-³⁹Ar age constraints for the tectono-thermal evolution of the high-pressure Meliata unit, Western Carpathians (Slovakia). – Tectonophysics, 280, 1–2, 141–156.
- FARYAD, S. W., HOINKES, G., 1999: Two contrasting mineral assemblages in the Meliata blueschists, Western Carpathians, Slovakia. – Mineralogical Magazine, 63, 4, 489–501.
- FUSÁN, O., 1959: Poznámky k mladšiemu paleozoiku gemerid. – Geologické práce, Zošit, 55, 171–181.
- GAÁL, L., 1987: Súčasné otázky stratigrafie meliatskej skupiny. – Geologické práce, Správy, 86, 143–156.
- GAZDAČKO, L., 2005: Litologická náplň a vzťah bôrčanského prikrovu v okolí Markušky a Kobeliarovu k ultra-bázikám. – Mineralia Slovaca, 37, 3, 214–216.
- GRECULA, P. (ED.), KOBULSKÝ, J., GAZDAČKO, L., NÉMETH, Z., HRAŠKO, L., NOVOTNÝ, L., MAGLAY, J., 2009: Geologická mapa Spišsko-gemerského rudoohoria 1: 50 000. – Štátny geologický ústav Dionýza Štúra, Bratislava.
- HAWTHORNE, F. C., OBERTI, R., HARLOW, G. E., MARESCH, W. V., MARTIN, R. F., SCHUMACHER, J. C., WELCH, M. D., 2012: Nomenclature of the amphibole supergroup. – American Mineralogist, 97, 11–12, 2031–2048.
- IVAN, P., 2002: Relics of the Meliata Ocean crust: Geodynamic implications of mineralogical, petrological and geochemical proxies. – Geologica Carpathica, 53, 4, 245–256.
- IVAN, P., 2007: Litostratigrafické jednotky prikrovu Bôrky: ich stručná charakteristika a možný pôvod. – Zborník príspevkov z konferencie Cambelove dni 2007. Slovenská asociácia geochemikov, Katedra geochemie PrF UK, Bratislava, 42–48.
- IVAN, P., KRONOME, B., 1996: Predmetamorfný charakter a geodynamické prostredie vzniku vysokotlakovo metamorfovaných bazitov meliatskej jednotky na lokalitách Radzim, Bôrka, Hačava a Rudník. – Mineralia Slovaca, 28, 1, 26–37.
- JOWETT, E. C., 1991: Fitting iron and magnesium into the hydrothermal chlorite geothermometer. – Geological Association of Canada + MAC + SEG Joint Annual Meeting, Toronto, 16, A62.
- KAMENICKÝ, J., 1957: Serpentinity, diabázy a glaukofanické horniny triasu Spišsko-gemerského rudoohoria. – Geologické práce, Zošit, 45, 3–108.
- KANTOR, J., 1955: Diabázy juhoslovenského mezozoika. – Geologické práce, Zošit, 41, 77–99.
- KANTOR, J., 1956: Serpentinity južnej časti Spišsko-gemerského rudoohoria. – Geologické práce, Správy, 6, 3–40.
- KOČICKÝ, D., IVANIČ, B., 2011: Geomorfologické členenie Slovenska 1: 500 000. – Štátny geologický ústav Dionýza Štúra, Bratislava.
- KOWALLIS, B. J., CHRISTIANSEN, E. H., GRIFFEN, D. T., 1997: Compositional variations in titanite. Geological Society of America Abstracts with Programs, 29, A-402.
- LEAKE, B. E., WOOLLEY, A. R., ARPS, C. E. S., BIRCH, W. D., GILBERT, M. C., GRICE, J. D., HAWTHORNE, F. C., KATO, A., KISCH, H. J., KRIVOVICHEV, V. G., LINTHOUT, K., LAIRD, J., MANDARINO, J. A., MARESCH, W. V., NICKEL, E. H., SCHUMACHER, J. C., SMITH, D. C., STEPHENSON, N. C. N., UNGARETTI, L., WHITTAKER, E. J. W., YOUNZHI, G., 1997: Nomenclature of amphiboles: report of the Subcommittee on Amphiboles of the International Mineralogical Association, Commission on New Minerals and Mineral Names. – Canadian Mineralogist, 35, 219–246.
- LEŠKO, B., VARGA, I., 1980: Alpine elements in the West Carpathian structure and their significance. – Mineralia Slovaca, 12, 2, 97–130.
- MAHEL, M., 1954: Stratigrafia a tektonické pomery paleozoika západných gemeríd. – Geologický Zborník, Geologica Carpathica, 5, 1–4, 146–183.
- MALUSKI, H., RAJLICH, P., MATTE, P., 1993: ⁴⁰Ar-³⁹ Ar dating of the Inner Carpathians Variscan basement and Alpine mylonitic overprinting. – Tectonophysics, 223, 3–4, 313–337.

- MARKO, F., 1981: Geologicko-tektonické pomery na území medzi Roštárom a Markuškou. Diplomová práca. - Manuskript: Geofond, Štátne geologický ústav Dionýza Štúra, Bratislava, 70 s.
- MAZZOLI, C., VOZÁROVÁ, A., 1998: Subduction related processes in the Bôrka Nappe (Inner Western Carpathians): a geochemical and petrological approach. - In: Rakús, M. (ed.): Geodynamic model of the Western Carpathians. State Geological Institute of Dionýz Štúr, Bratislava, 89–106.
- MELLO, J. (ED.), ELEČKO, M., PRISTAŠ, J., REICHWALDER, P., SNOPKO, L., VASS, D., VOZÁROVÁ, A., GAÁL, L., HANZEL, V., HÓK, J., KOVÁČ, P., SLAVKAY, M., STEINER, A., 1997: Vysvetlivky ku geologickej mape Slovenského krasu 1: 50 000. - Štátne geologický ústav Dionýza Štúra, Bratislava, 1–255.
- MELLO, J., REICHWALDER, P., VOZÁROVÁ, A., 1998: Bôrka Nappe: high-pressure relic from the subduction-accretion prism of the Meliata ocean (Inner Western Carpathians, Slovakia). - Slovak Geological Magazine, 4, 4, 261–273.
- MÉRES, Š., IVAN, P., KONEČNÝ, P., AUBRECHT, R., SÝKORA, M., PLAŠIENKA, D., REICHWALDER, P., 2013: Two monazite ages from the accretionary prism mélange of the Meliata Ocean (Bôrka Nappe, Meliatic Superunit, Western Carpathians). - GEEWEC 2013, Smolenice. Abstract Book, Geological Institute of the Slovak Academy of Sciences, Bratislava, s. 62.
- MÍŠIK, M., 1953: Geologické pomery územia medzi Jelšavou a Štítnikom. - Geologický Zborník, Geologica Carpathica, 4, 3–4, 557–587.
- NEMEC, O., PUTIŠ, M., BAČÍK, P., RUŽIČKA, P., NÉMETH, Z., 2020: Metamorphic conditions of Neotethyan Meliatic accretionary wedge estimated by thermodynamic modelling and geothermobarometry (Inner Western Carpathians). - Minerals, 10, 12, 1–50.
- PASERO, M., KAMPF, A. R., FERRARIS, C., PEKOV, I. V., RAKOVAN, J., WHITE, T. J., 2010: Nomenclature of the apatite supergroup minerals. European Journal of Mineralogy, 22, 2, 163–179.
- PLAŠIENKA, D., MÉRES, Š., IVAN, P., SÝKORA, M., SOTÁK, J., LAČNÝ, A., AUBRECHT, R., BELLOVÁ, S., POTOČNÝ, T., 2019: Meliatic blueschists and their detritus in Cretaceous sediments: new data constraining tectonic evolution of the West Carpathians. - Swiss Journal of Geosciences, 112, 1, 55–81.
- POTOČNÝ, T., MÉRES, Š., PLAŠIENKA, D., 2020: Geological structure and tectonometamorphic evolution of the Veporic-Generic contact zone constrained by the monazite age data (Slavošovce-Štítnik area, Western Carpathians, Slovakia). Mineralia Slovaca, 52, 2, 83–102.
- PUTIŠ, M., DANIŠÍK, M., RUŽIČKA, P., SCHMIEDT, I., 2014: Constraining exhumation pathway in accretionary wedge by (U-Th)/He thermochronology – Case study on Meliatic nappes in the Western Carpathians. - Journal of Geodynamics, 81, 80–90.
- PUTIŠ, M., SOTÁK, J., LI, Q.-L., ONDREJKA, M., LI, X.-H., HU, Z., LING, X., NEMEC, O., NÉMETH, Z., RUŽIČKA, P., 2019: Origin and age determination of the Neotethys Meliata Basin ophiolite fragments in the Late Jurassic-Early Cretaceous accretionary wedge mélange (Inner Western Carpathians, Slovakia). - Minerals, 9, 11, 652, 1–38.
- RADKOVÁ, P., MIKUŠ, T., BAKOS, F., KODÉRA, P., LUPTÁKOVÁ, J., 2019: A new type of carbonate-hosted Au mineralization at Dúbrava near Rochovce, Western Carpathians. - Acta Geologica Slovaca, 11, 2, 103–118.
- REICHWALDER, P., 1970: Niekoľko poznámok k výskytu glaukonitických hornín v okolí Hačavy. - Geologické práce, Správy, 53, 157–165.
- REICHWALDER, P., 1973: Geologické pomery mladšieho paleozoika v jv. časti Spišsko-gemerského rudoohoria. - Zborník geologických vied, Rad Západné Karpaty, 18, 99–141.
- RUŽIČKA, P., BAČÍK, P., KURYLO, S., 2019: Mineralogická charakteristika mramorov asociovaných s bazaltovými metapyroklastikami a chloritickými bridlicami z lokality Markuška (Slovenská republika). - Bulletin Mineralogie Petrologie, 27, 2, 247–258.
- RUŽIČKA, P., MYŠLÁN, P., KURYLO, S., 2020: Minerálne zloženie metapelitovej a metapyroklastickej zložky kryštalických vápencov z lokalít Lubeník a Ochtiná (Slovenská republika). - Bulletin Mineralogie Petrologie, 28, 2, 281–289.
- SUCHÁR, A., NOVÝSEDLÁK, J., VALKO, P., 1970: Záverečná správa a výpočet zásob Jelšava – Rožňava stavebný a dekoráčny kameň so stavom k 1. 4. 1970. - Manuskript: Geofond, Štátne geologický ústav Dionýza Štúra, Bratislava, 59 s.
- VARGA, I., DOJÁKOVÁ, V., BUKVOVÁ, J., 1977: Záverečná správa Lubeník – dekoráčny kameň, stav k 1. 9. 1977. - Manuskript: Geofond, Štátne geologický ústav Dionýza Štúra, Bratislava, 55 s.
- VOZÁROVÁ, A., 1993: Stupeň premeny dúbravských vrstiev. - In: Rakús, M., Vozár, J. (eds.) Geodynamický model a hlbinná stavba Západných Karpát. Štátne geologický ústav Dionýza Štúra, Bratislava, 227–231.
- WARR, L. N., 2021: IMA-CNMNC approved mineral symbols. Mineralogical Magazine, 85, 3, 291–320.
- ZANE, A., WEISS, Z., 1998: A procedure for classifying rock forming chlorites based on microprobe data. - Rendiconti Lincei, 9, 1, 51–56.
- ZBORNÁK, V., NOVÝSEDLÁK, J., 1969: Správa o dielčom prieskume Ochtiná – kryštalický vápenec so stavom k 31. 12. 1968. - Manuskript: Geofond, Štátne geologický ústav Dionýza Štúra, Bratislava, 39 s.